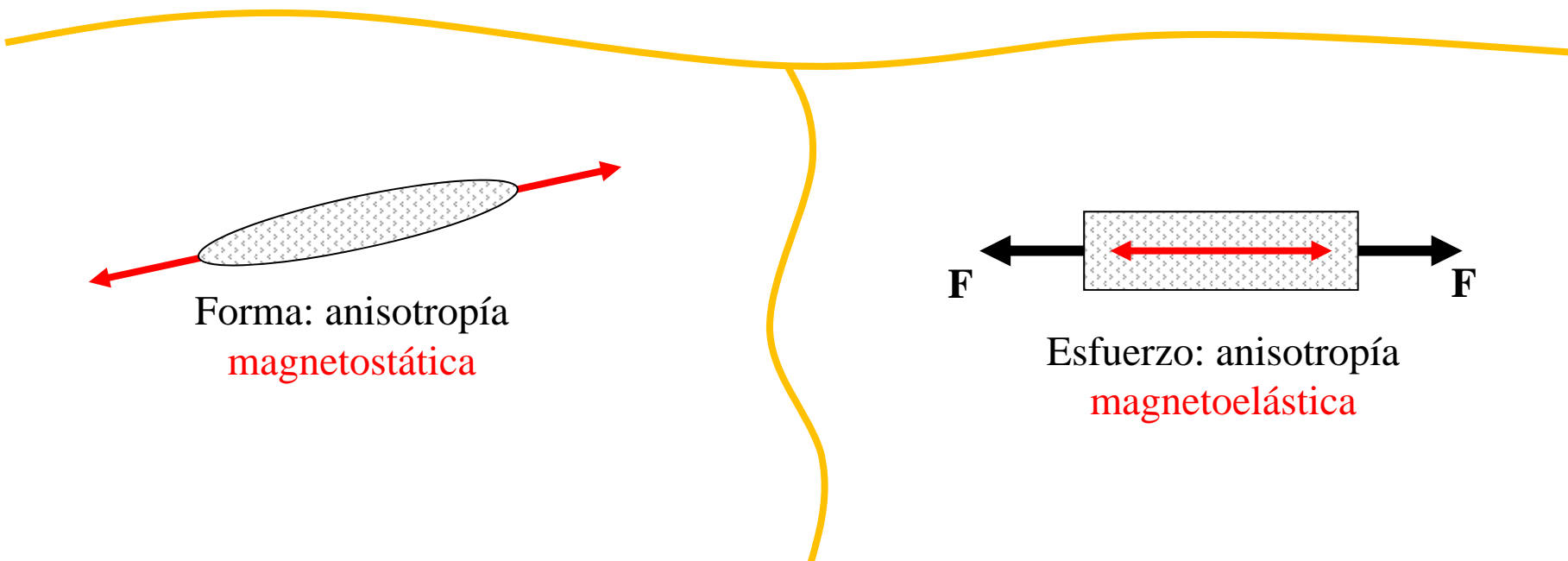
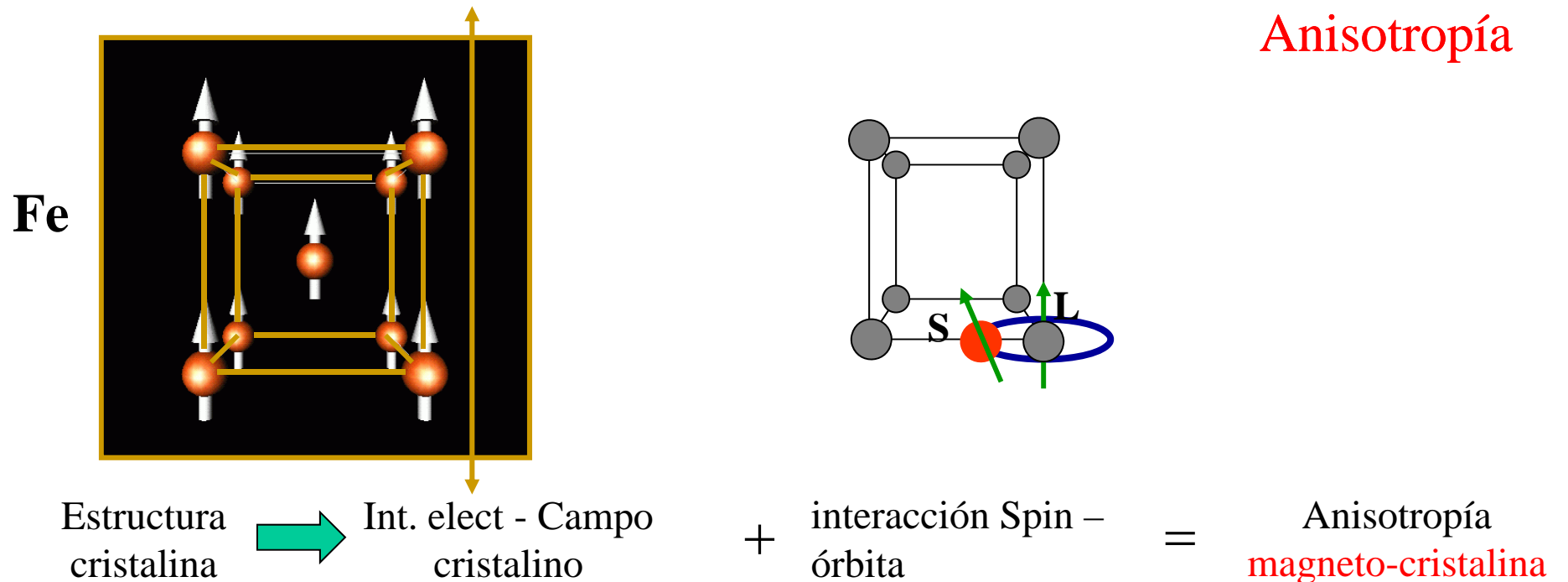
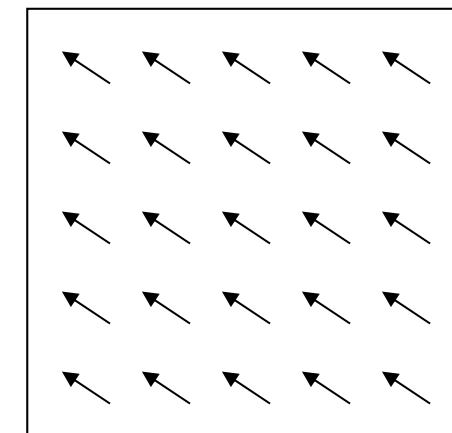
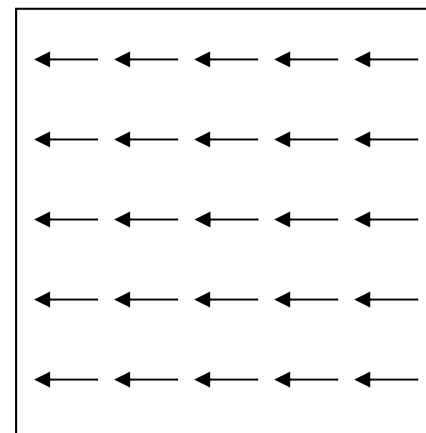
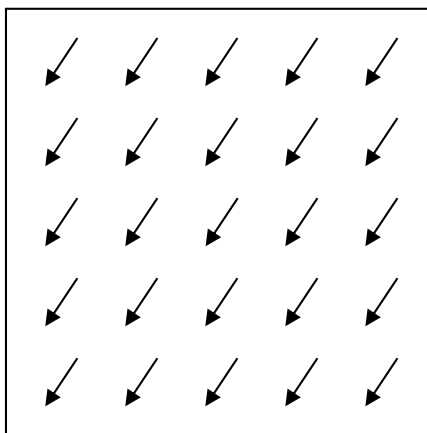
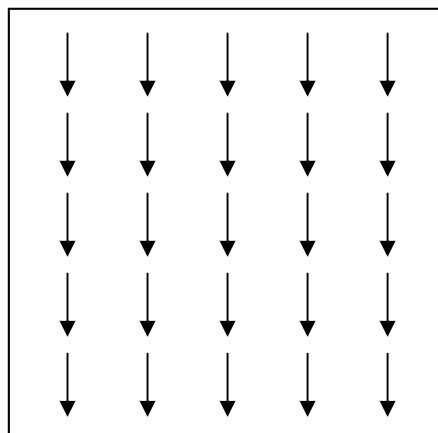
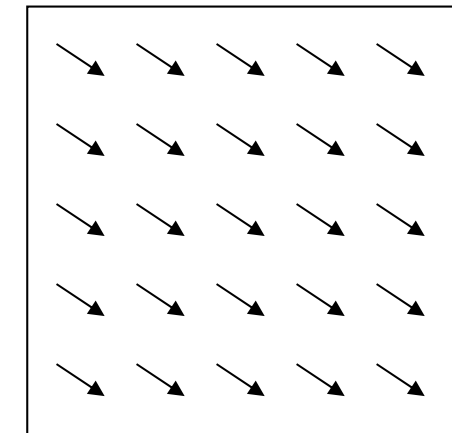
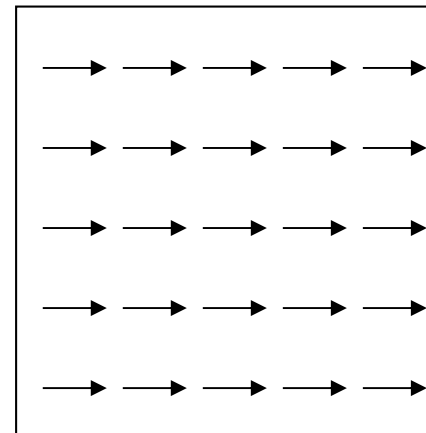
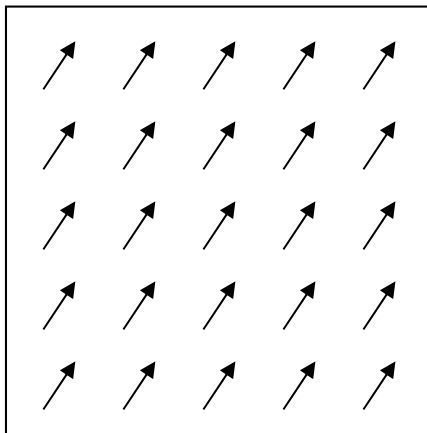
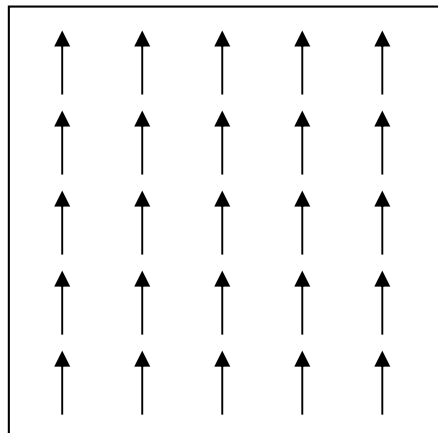


Anisotropía magnetocrystalina



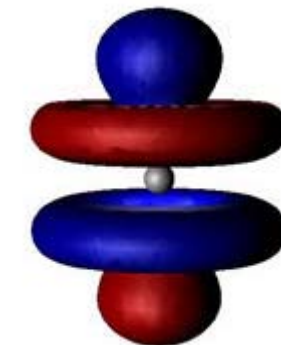
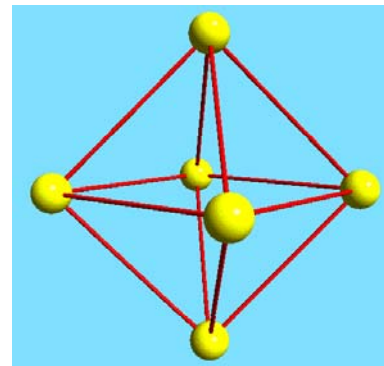
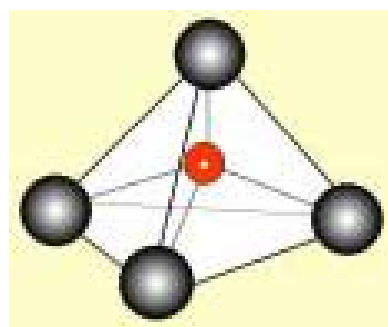
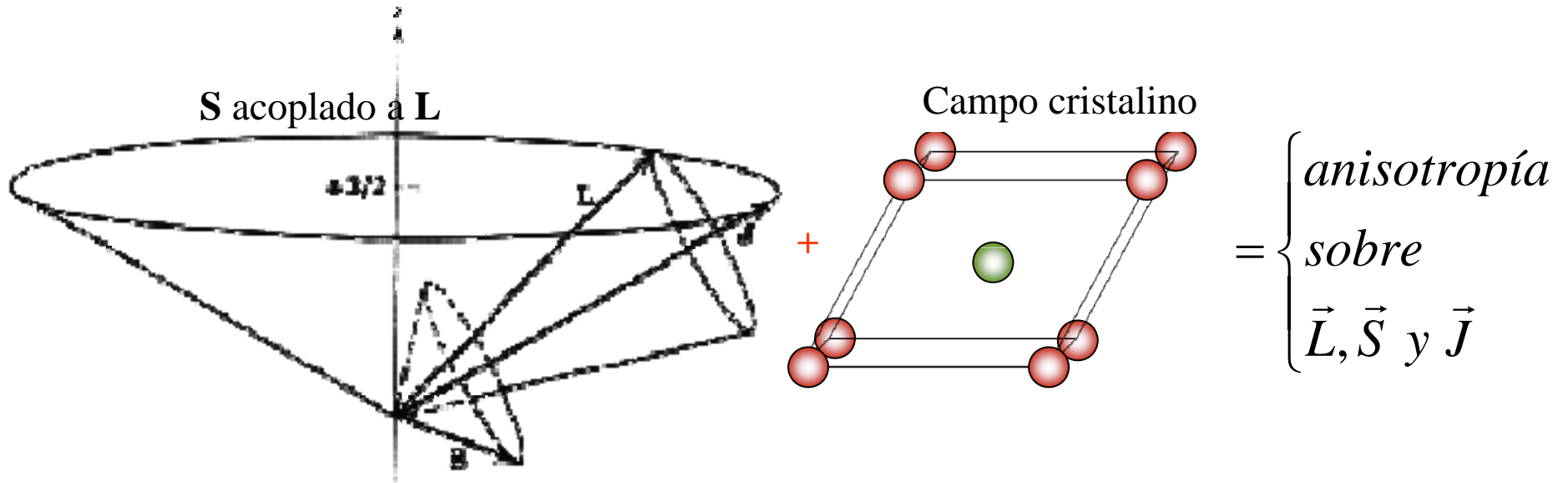
Sólo intercambio
(ausencia de anisotropía)

Dirección aleatoria de \mathbf{M} en $4\pi \Rightarrow$ estado continuamente degenerado

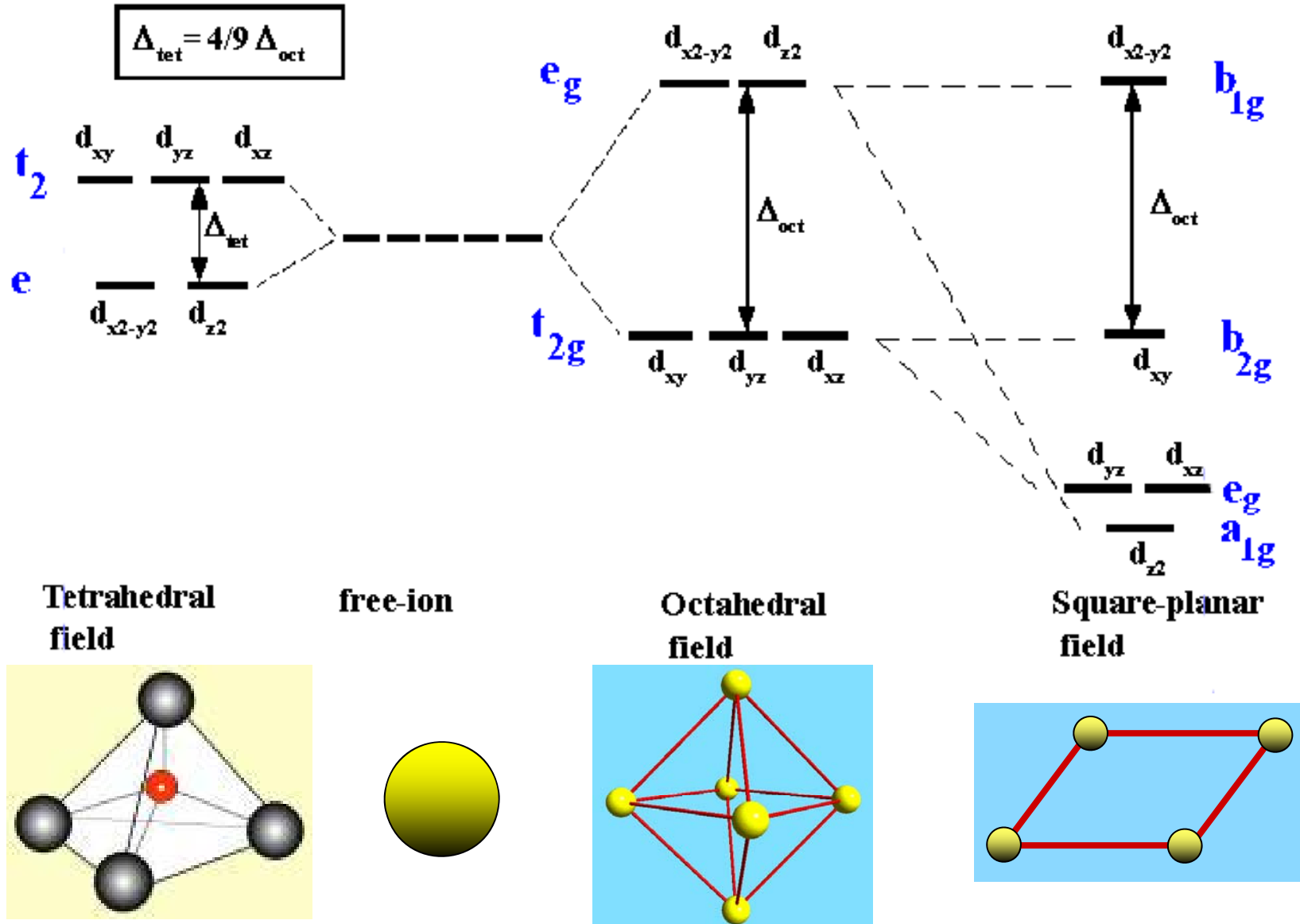


Siempre estaríamos en presencia de un superparamagneto

spin – órbita + campo cristalino

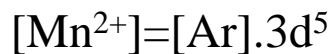


Diagramas de desdoblamiento de orbitales d por el campo cristalino

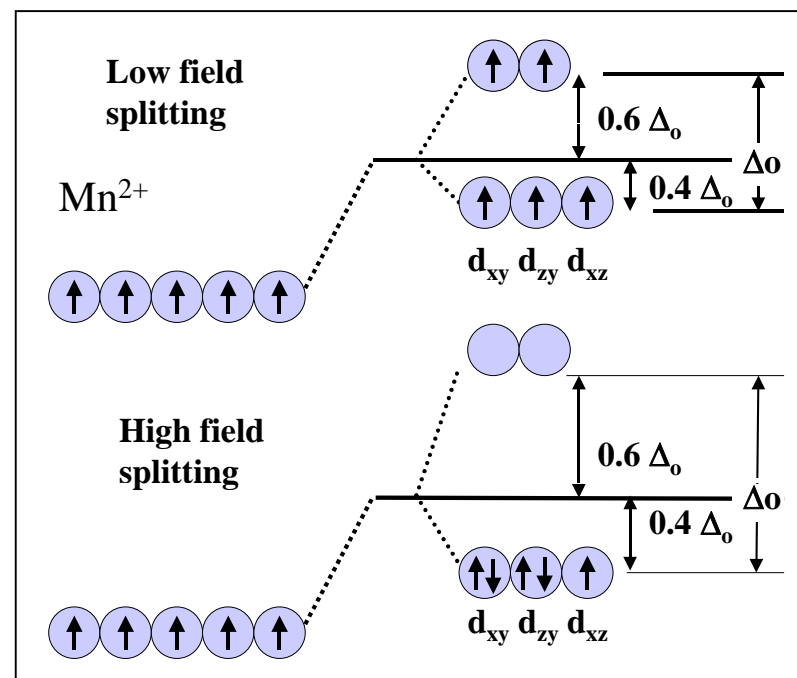
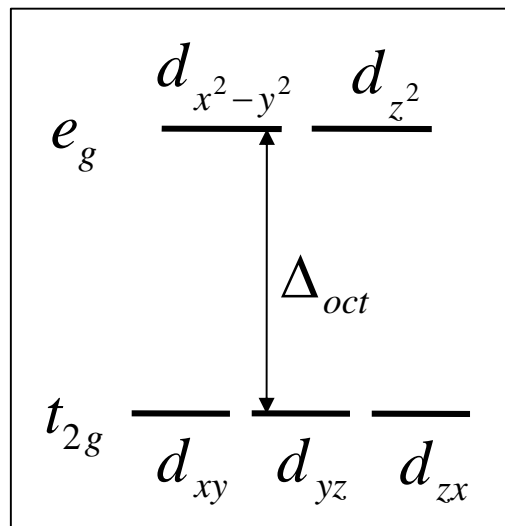


spin – órbita + campo
cristalino

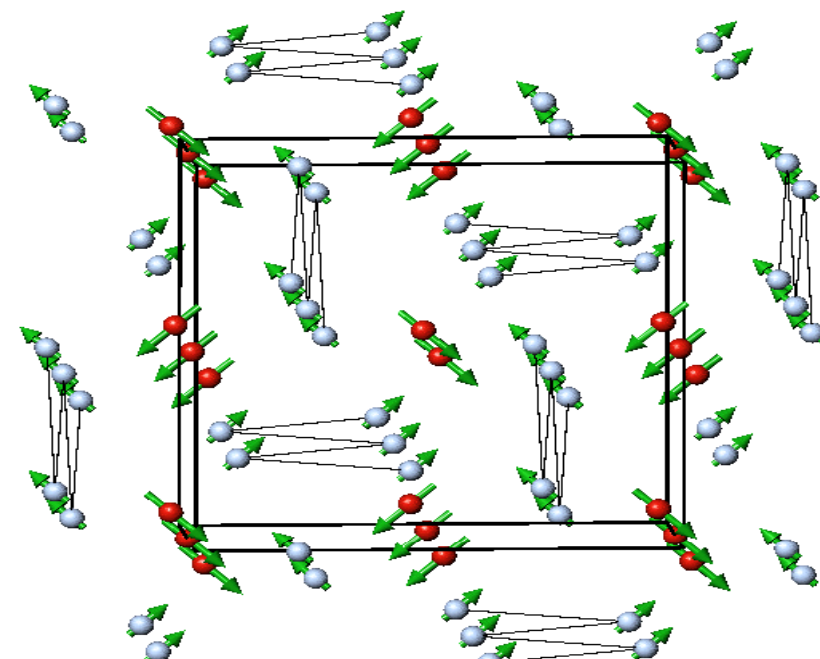
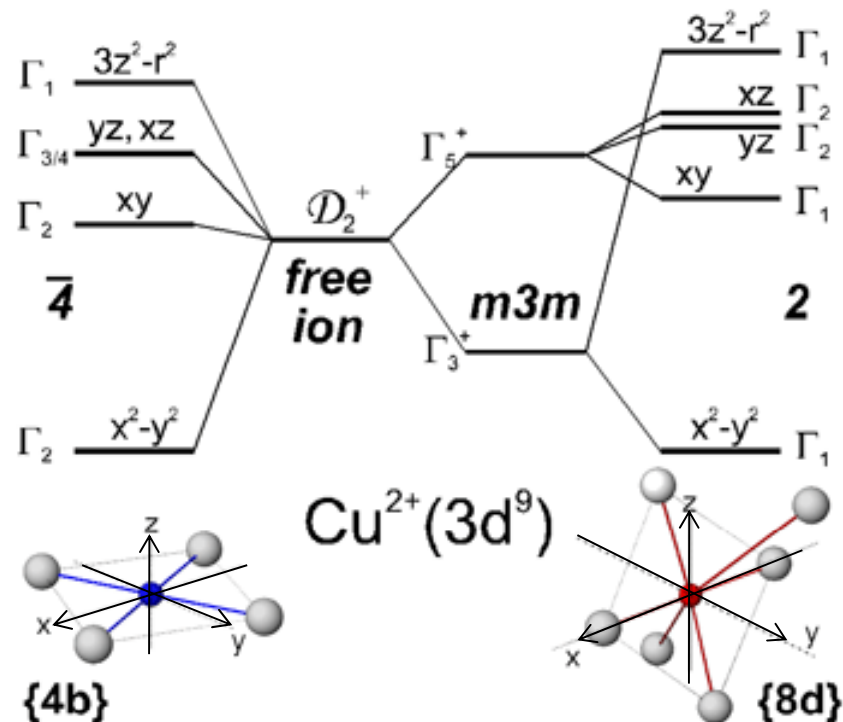
Ejemplo 1



Desdoblamientos bajo campos
cristalinos altos y bajos



Ejemplo 2 Ordenamiento Magnético del CuB₂O₄



Estados electrónicos, simetría local y coordinación de iones Cu²⁺ en sitios 4b y 8d de CuB₂O₄.

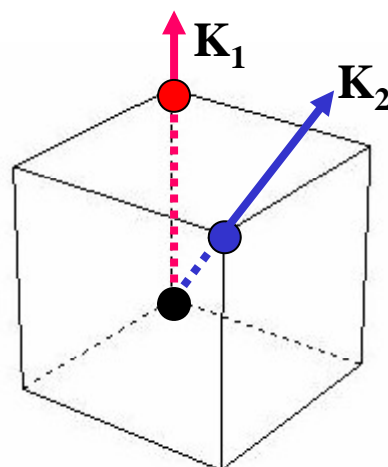
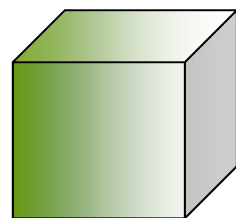
Manfred Fiebig, September 2004 mbi-berlin.de

B.Roessli , J.Schefer , G.Petrakovskii, B.Ouladdiaf, M.Böhm , U.Staub, A. Vorotinov and L.Bezmaternikh. Phys. Rev. Letter, (2001).

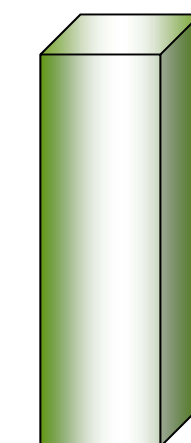
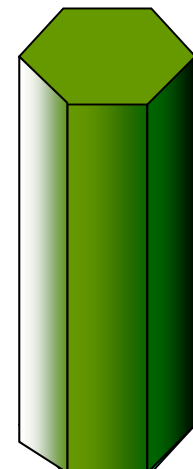
Energía de anisotropía Magnetocristalina

Definiciones

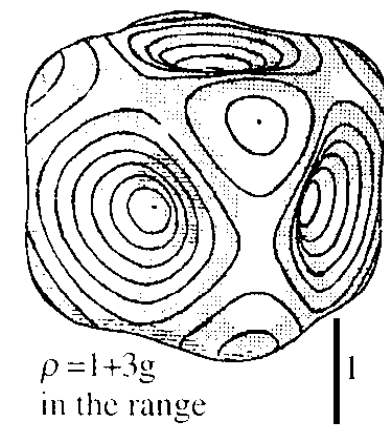
Geometría cúbica



Geometría cilíndrica, tetragonal, exagonal

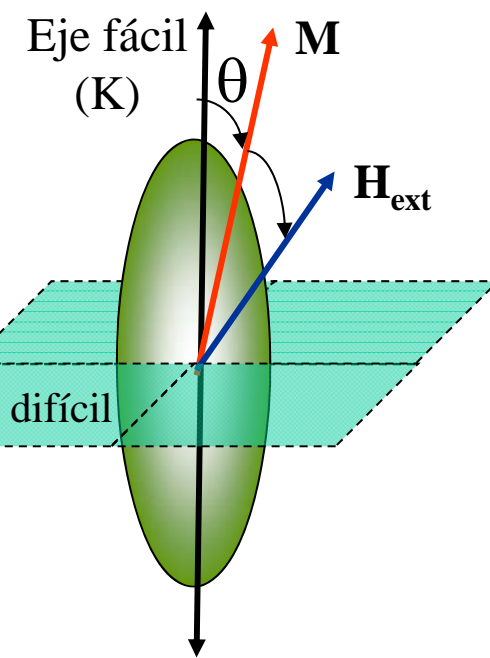


a) $K_{c1}=1$

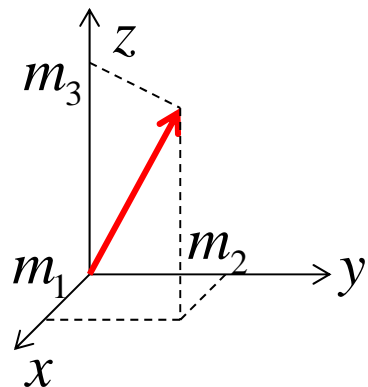


$$\rho = 1 + 3g \text{ in the range } [0(0.04)0.333]$$

Curvas de energía constante



Anisotropía – descripción fenomenológica



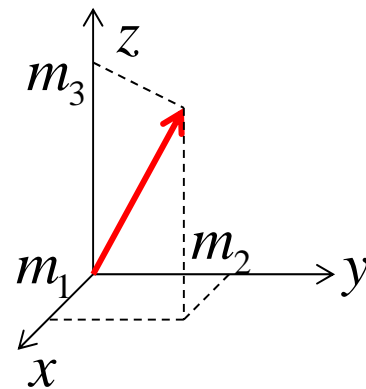
m_i cosenos
directores de la
magnetización

$$m_{1,2,3} = \frac{M_{x,y,z}}{M} \dots$$

e_K energía de anisotropía
por unidad de volumen

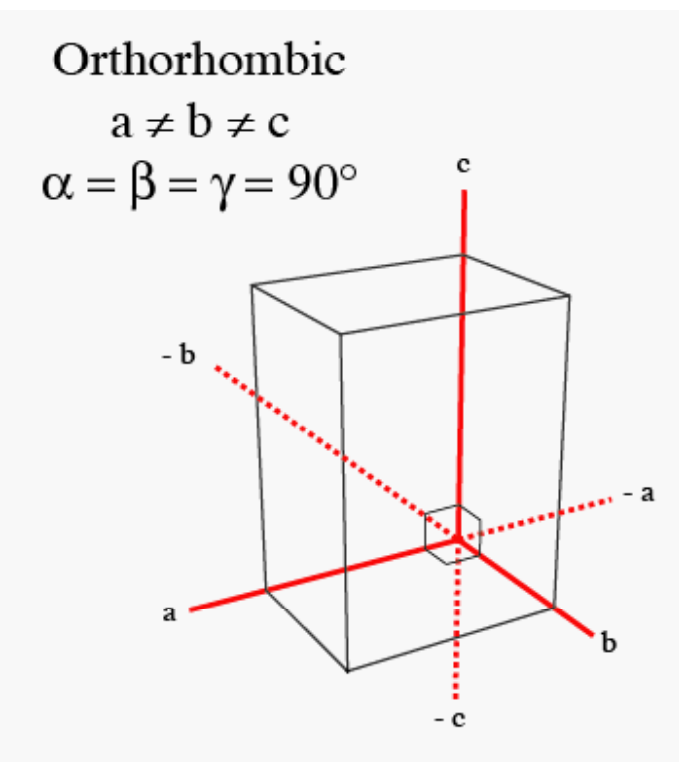
$$e_K = \sum_i K_i m_i^2 + \sum_{ij} K_{ij} m_i^2 m_j^2 + K_{123} m_1^2 m_2^2 m_3^2 + \sum_i K_i m_i^4 + \dots$$

$$E_K \text{ energía de anisotropía} \quad E_K = \int e_K dV$$

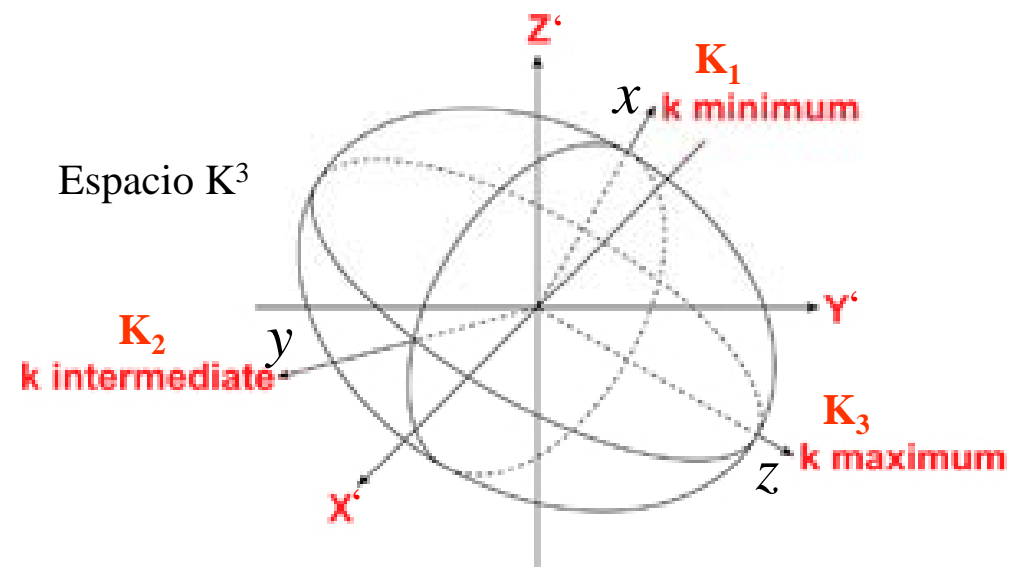


$$e_K = \sum_i K_i m_i^2 + \sum_{ij} K_{ij} m_i^2 m_j^2 + K_{123} m_1^2 m_2^2 m_3^2 + \sum_i K_i m_i^4 + \dots$$

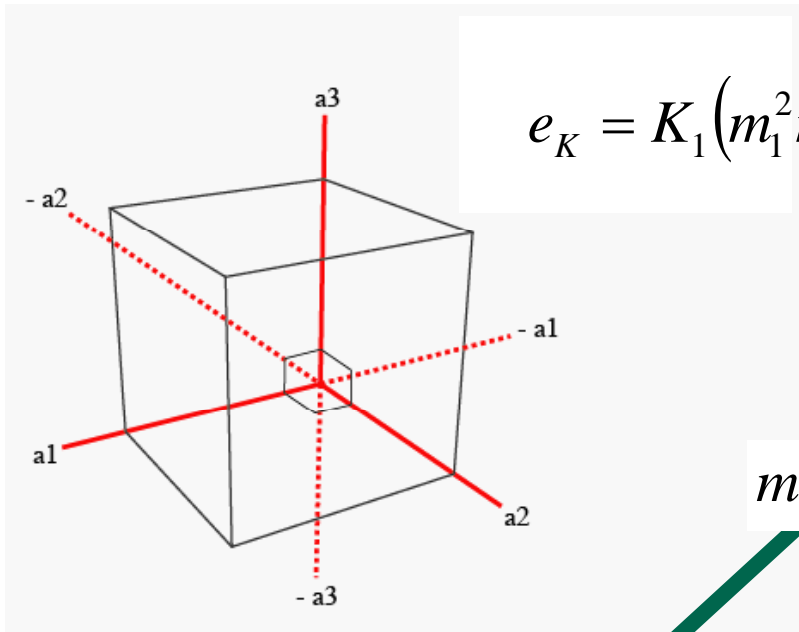
Ejemplo: sistema ortorrómbico



$$e_K \approx K_1 m_1^2 + K_2 m_2^2 + K_3 m_3^2$$



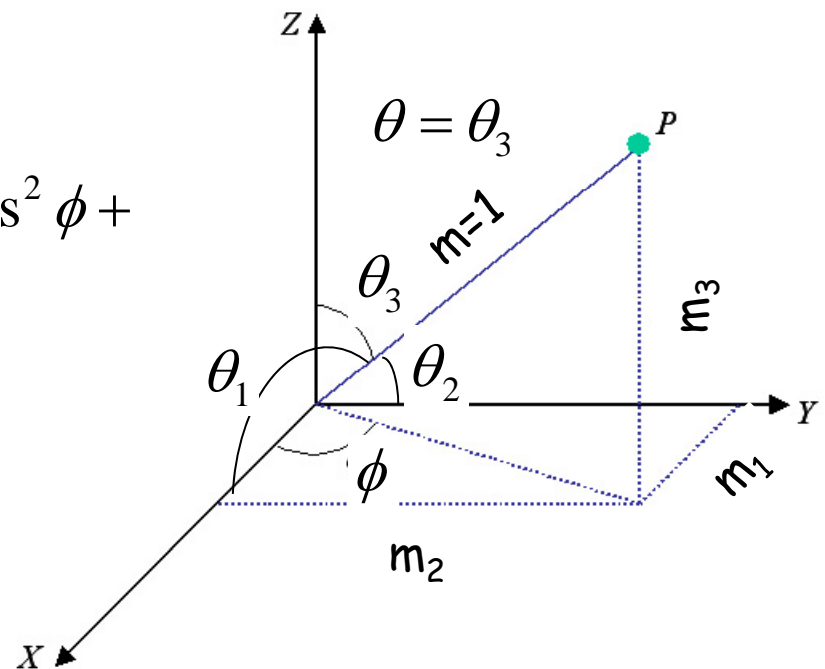
sistema cúbico



$$e_K = K_1(m_1^2 m_2^2 + m_1^2 m_3^2 + m_2^2 m_3^2) + K_2 m_1^2 m_2^2 m_3^2$$

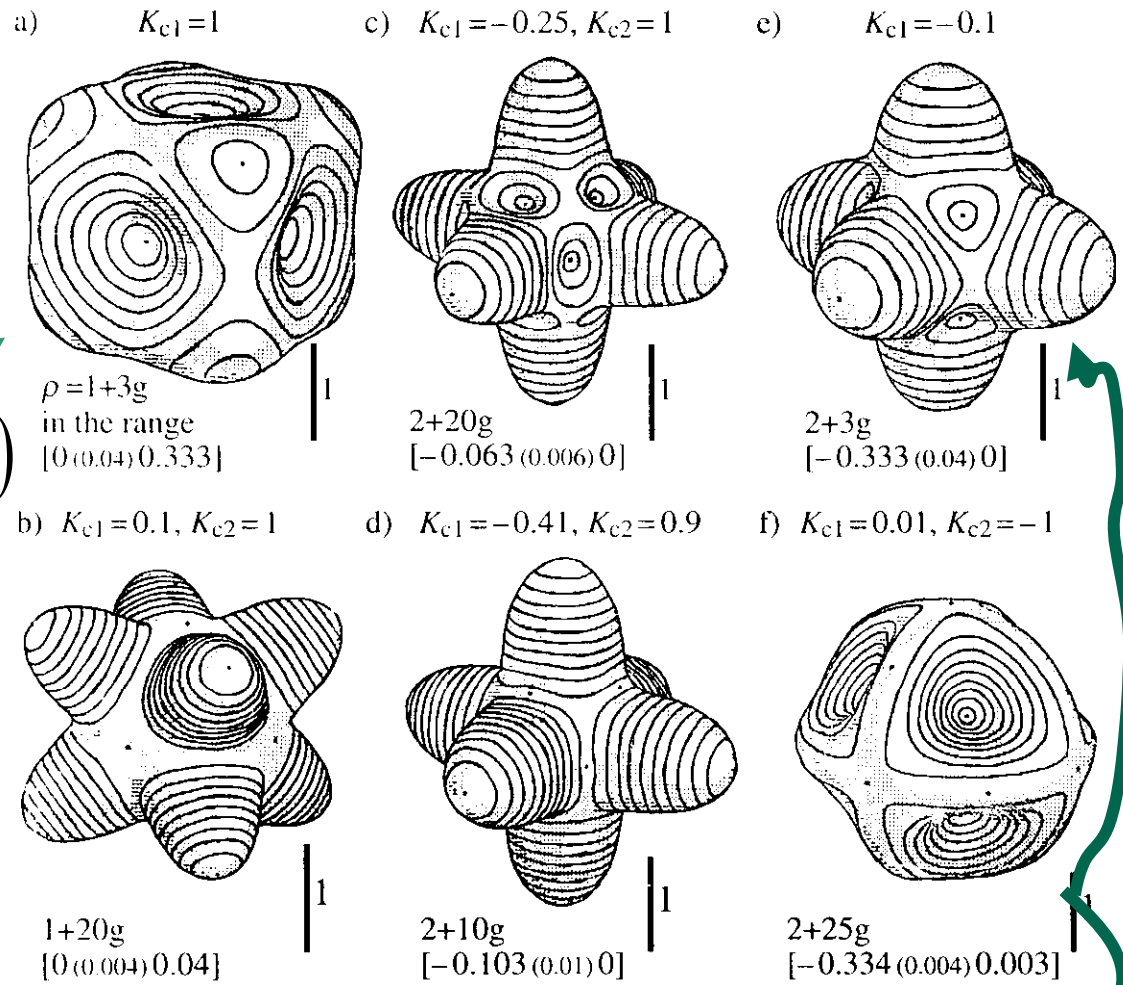
$$m_i = \cos \theta_i$$

$$e_K = (K_1 + K_2 \cos^2 \theta) \sin^4 \theta \sin^2 \phi \cos^2 \phi + \\ + K_1 \sin^2 \theta \cos^2 \theta$$

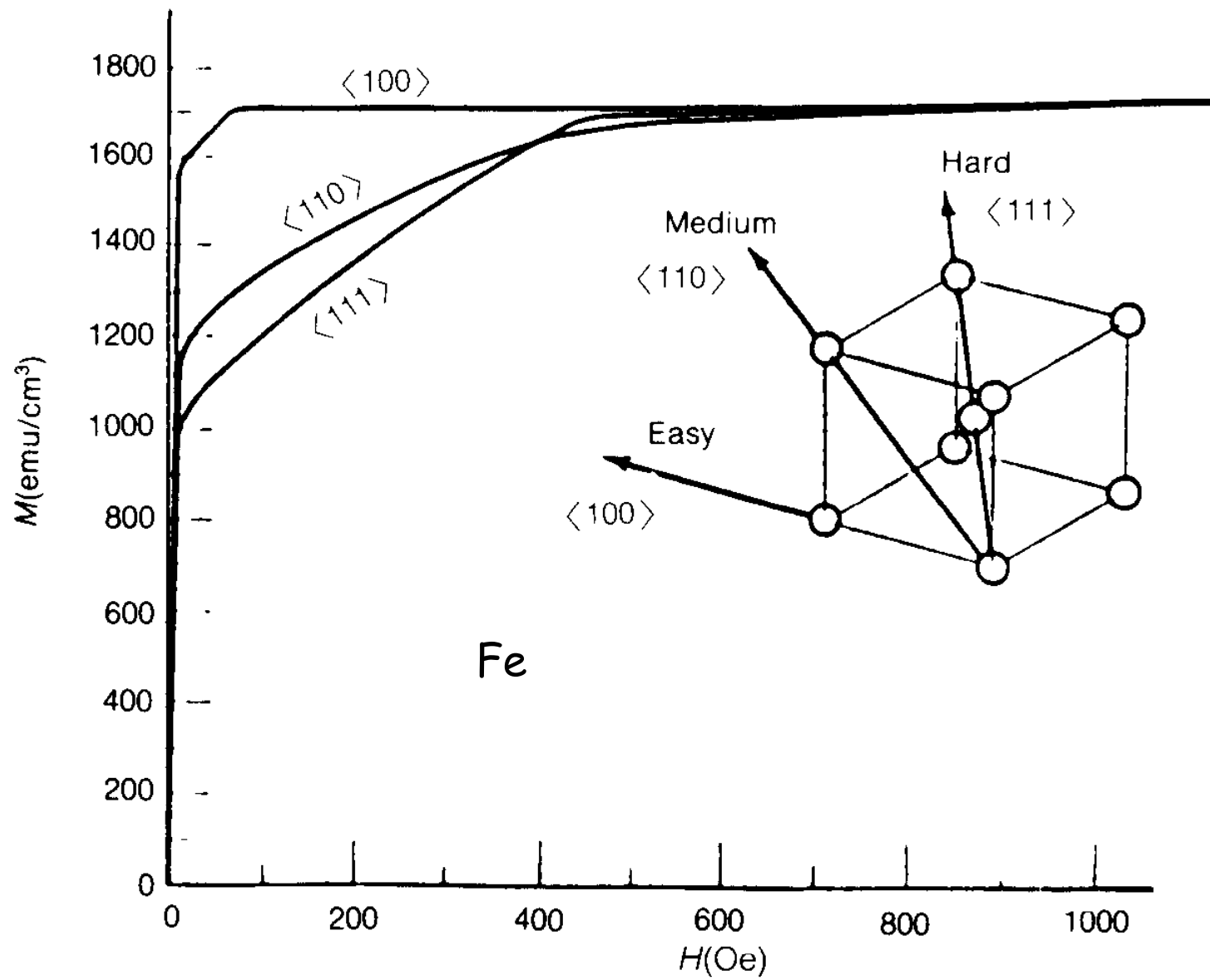


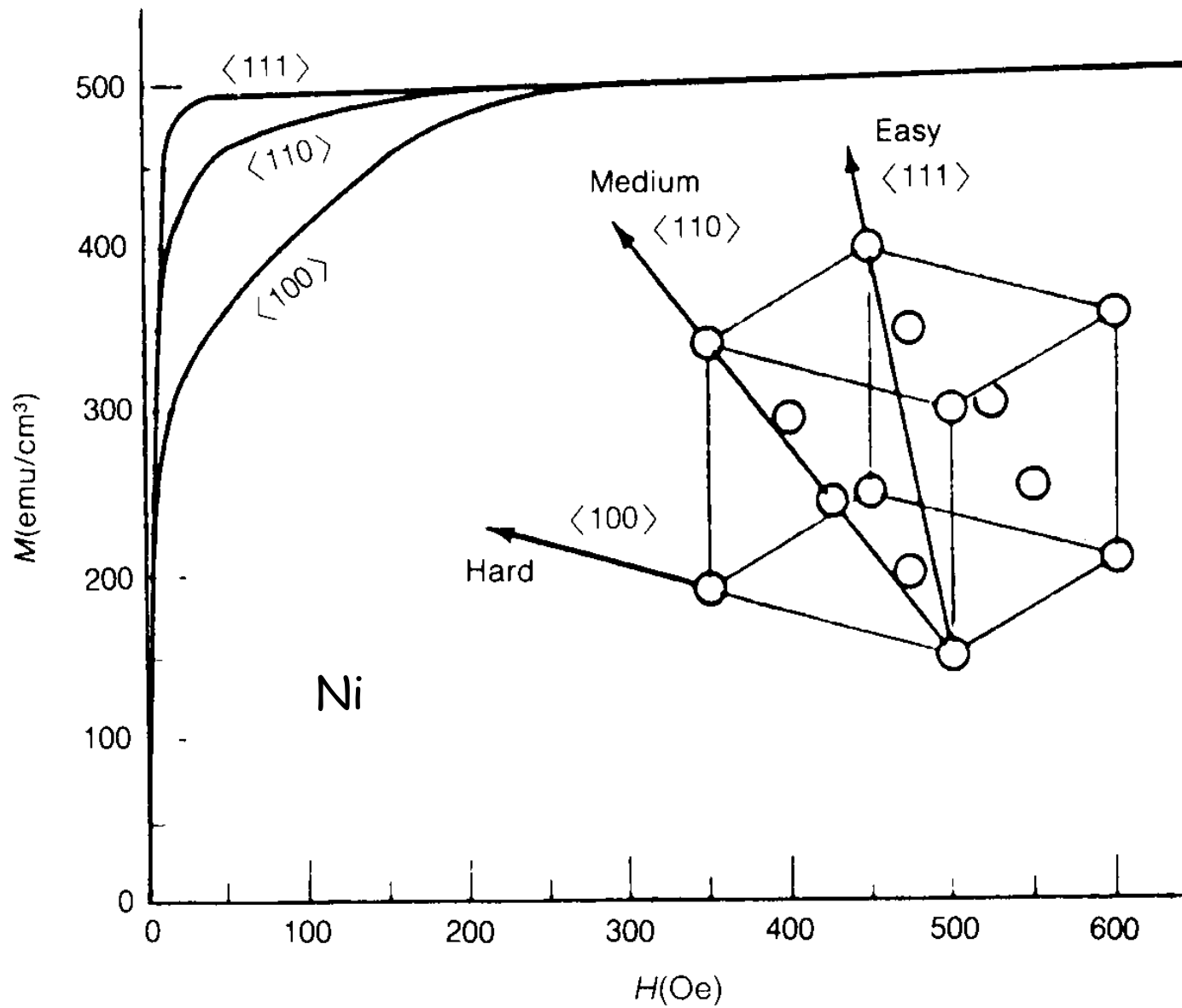
sistema cúbico
Curvas de energía constante

$$e_K = K_1(m_1^2 m_2^2 + m_1^2 m_3^2 + m_2^2 m_3^2) + K_2 m_1^2 m_2^2 m_3^2$$

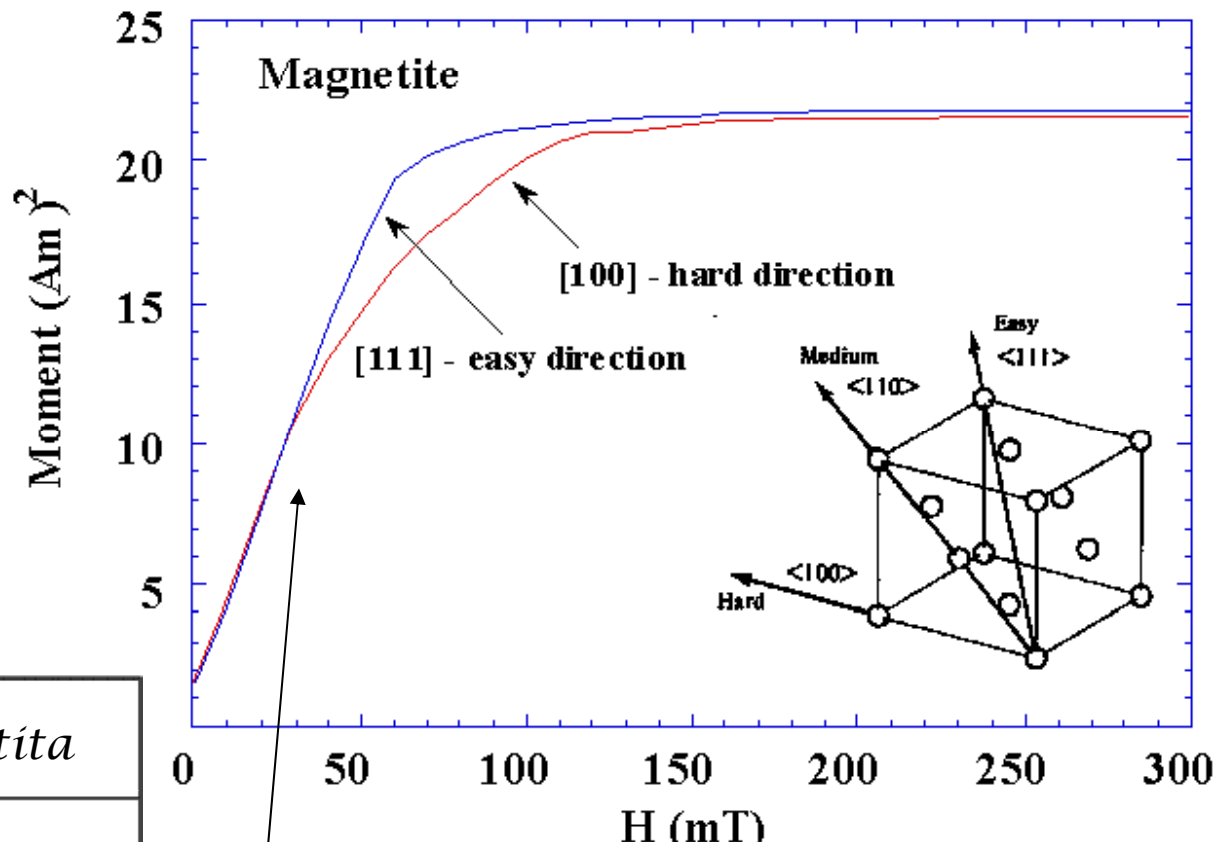
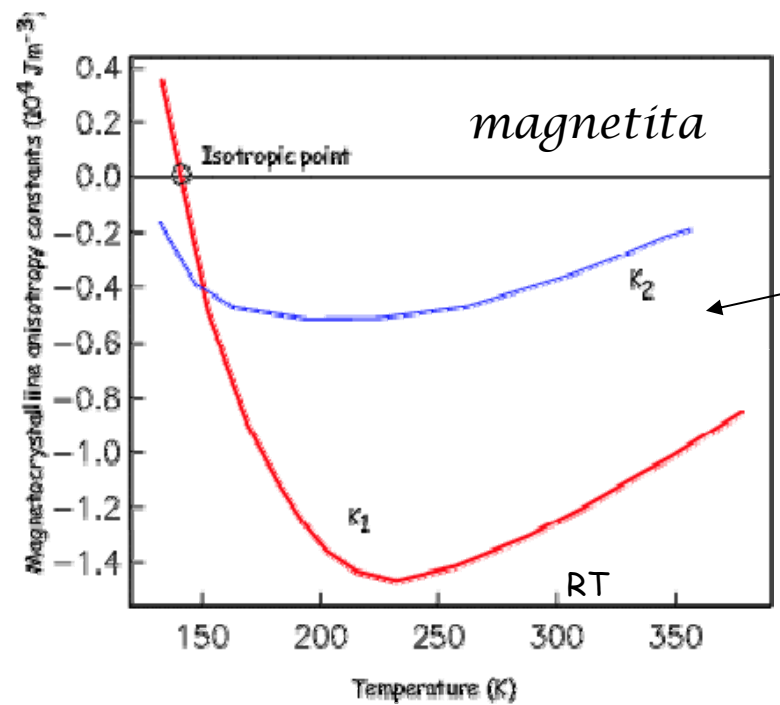


Material	K_1 (10^5 J/m 3)	K_2 (10^5 J/m 3)	Eje fácil
Fe	0.480	0.05	(100)
Ni	-0.045	-0.023	(111)



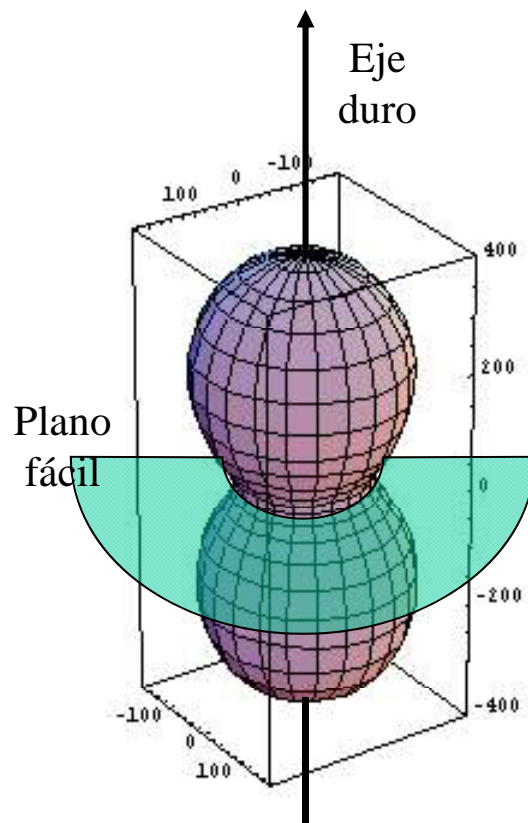


Dependencia de la anisotropía con la temperatura en la Magnetita



Ojo!! colores invertidos

Sistemas hexagonal y tetragonal



$$e_K = K_1 \cos^2 \theta + K_2 \cos^4 \theta$$

usando $\cos^2 \theta = 1 - \sin^2 \theta$

$$e_K = (K_1 + K_2) - (K_1 + 2K_2) \sin^2 \theta + K_2 \sin^4 \theta$$

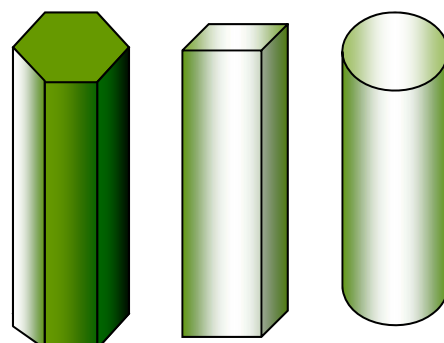
llamando

$$K_1' = -(K_1 + 2K_2)$$

$$K_2' = K_2$$

y corriendo el cero
de la energía

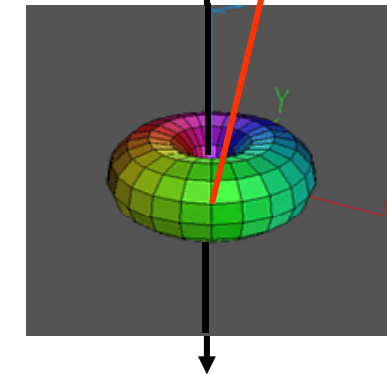
$$e_K = K_1' \sin^2 \theta + K_2' \sin^4 \theta$$



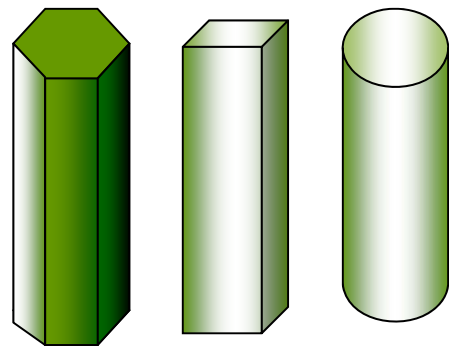
Eje fácil

(K)

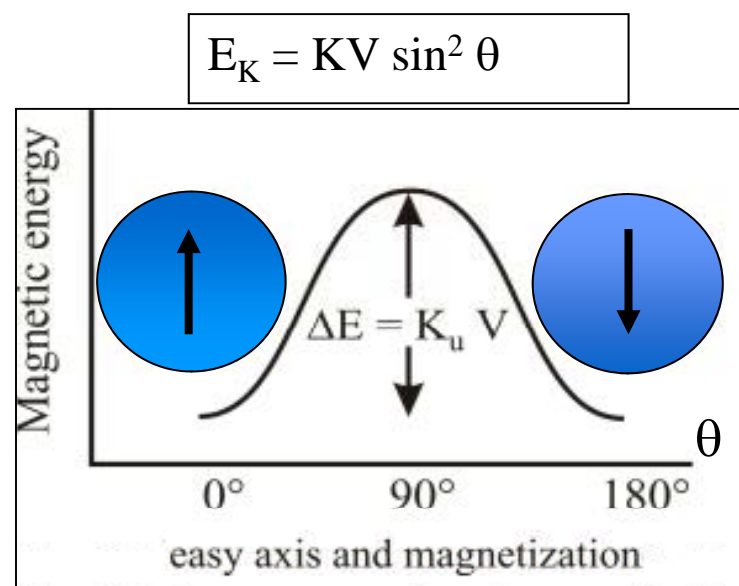
M



energía de anisotropía (E_K)

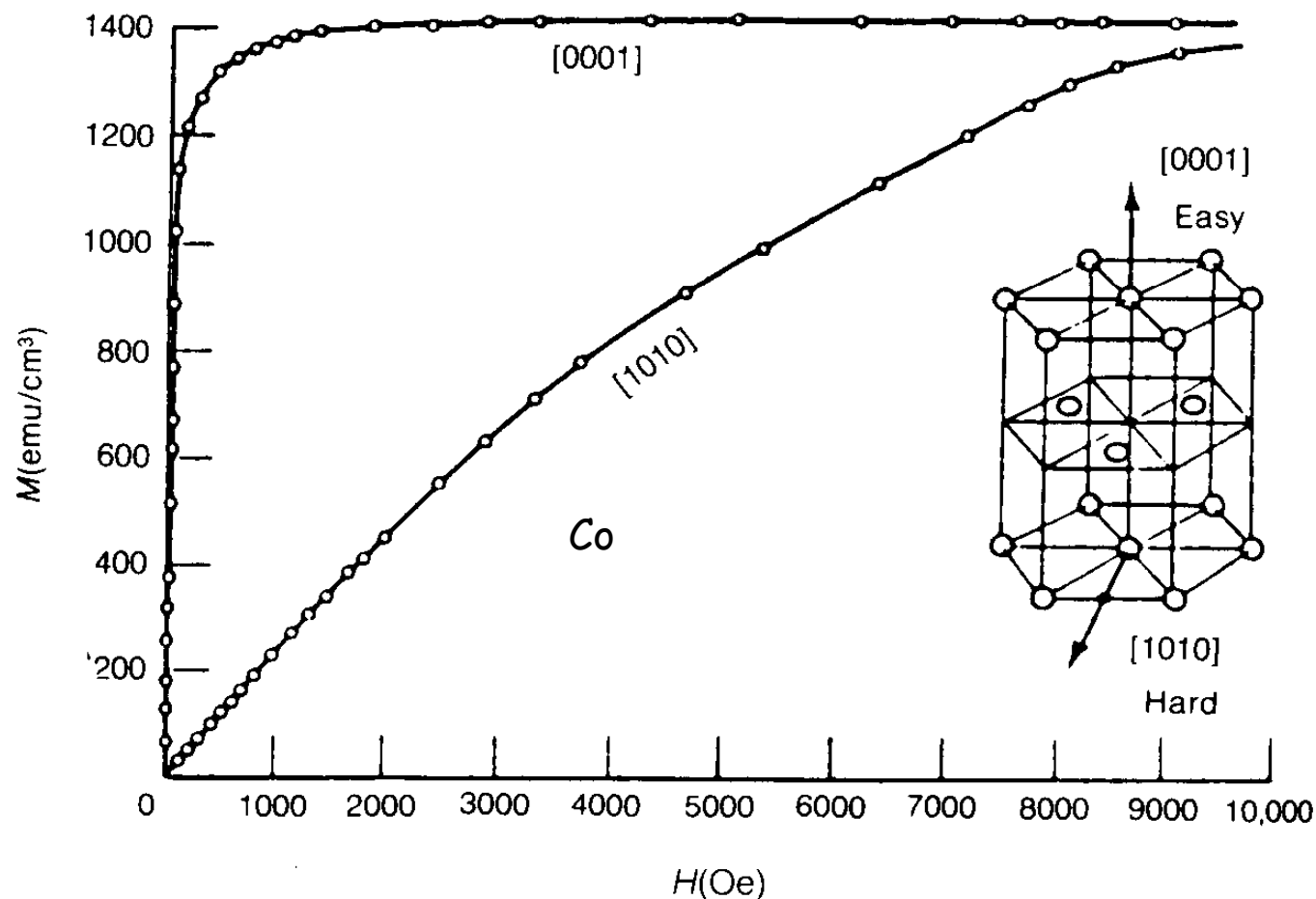


$$e_K = K_1 \sin^2 \theta + K_2 \sin^4 \theta \xrightarrow[\text{caso uniaxial}]{\text{descripción simple}} e_K = K \sin^2 \theta$$



$$e_K = K_1 \sin^2 \theta + K_2 \sin^4 \theta$$

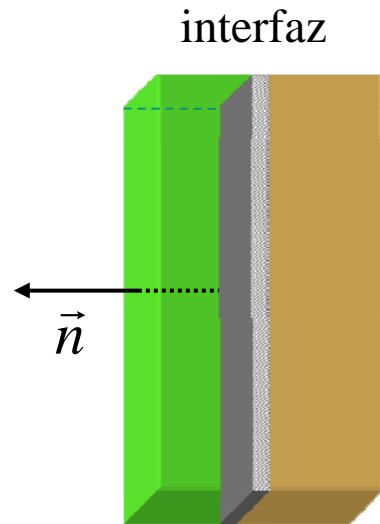
Material	K_1 (10^5 J/m ³)	K_1 (10^5 J/m ³)	Eje fácil
Co	4.1	1.0	hexagonal
SmCo ₅	1100	-	hexagonal



Anisotropía de Intercambio

superficies e interfaces

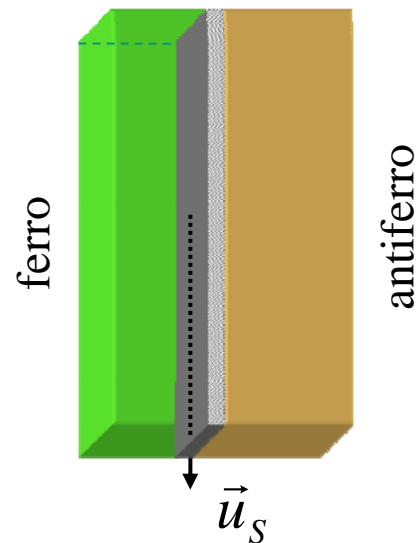
Anisotropía de interfaz



$$e_K = K_S [1 - (\vec{m} \cdot \vec{n})^2]$$

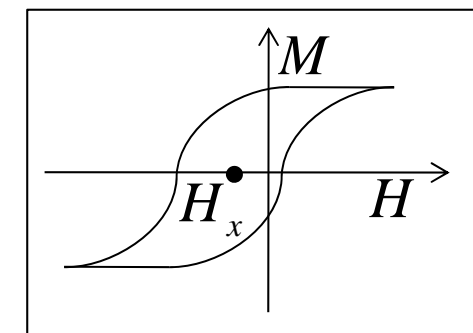
$K_S > 0 \Rightarrow \vec{m} \parallel \text{sup}$
 $K_S < 0 \Rightarrow \vec{m} \perp \text{sup}$

Anisotropía de intercambio*



$$e_K = K_S \vec{m} \cdot \vec{u}_S = \frac{H_x}{2} \vec{m} \cdot \vec{u}_S$$

$$e_K = \frac{H_x}{2} m \cos \varphi$$

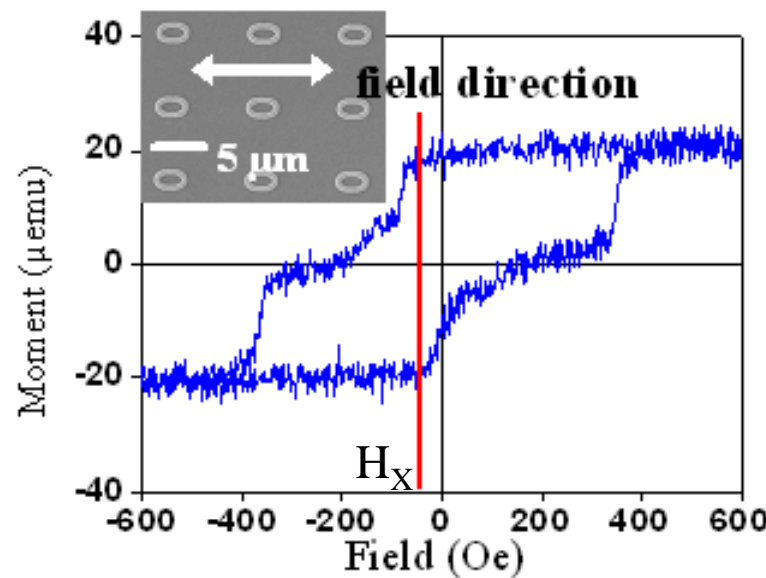


Exchange bias field

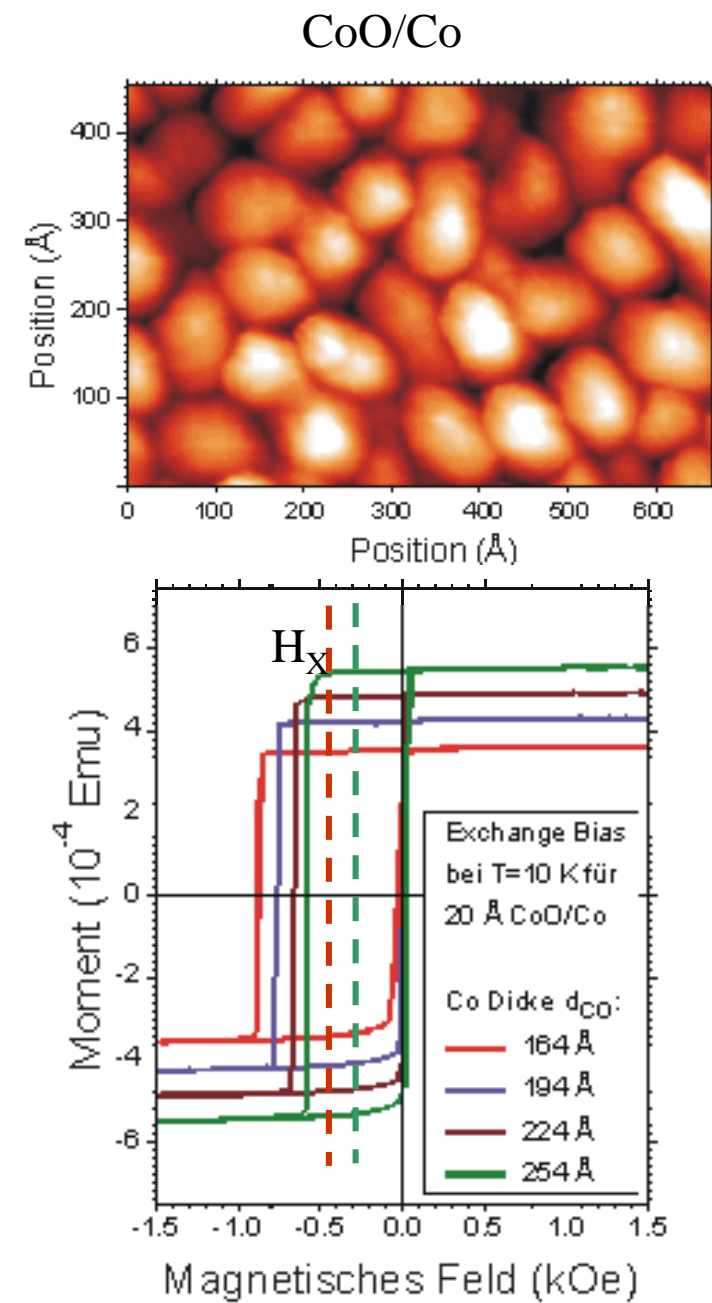
*también llamada unidireccional

Observación del exchange bias

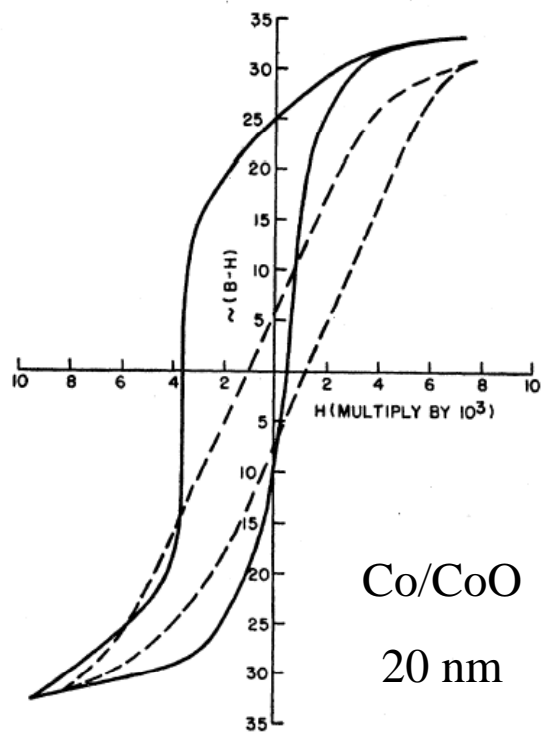
$$e_K = K_S \vec{m} \cdot \vec{u}_S = \frac{H_x}{2} \vec{m} \cdot \vec{u}_S$$



Ta 20nm / NiFe 20nm/ FeMn 10 nm film



In the
news...



Letters to the Editor

New Magnetic Anisotropy

W. H. MEIKLEJOHN AND C. P. BEAN

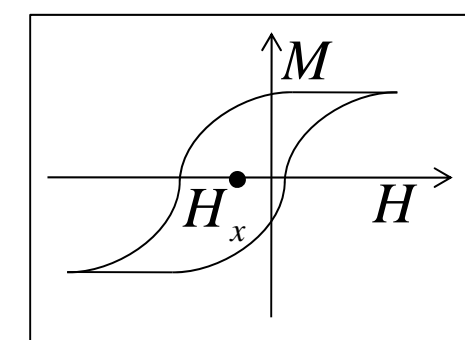
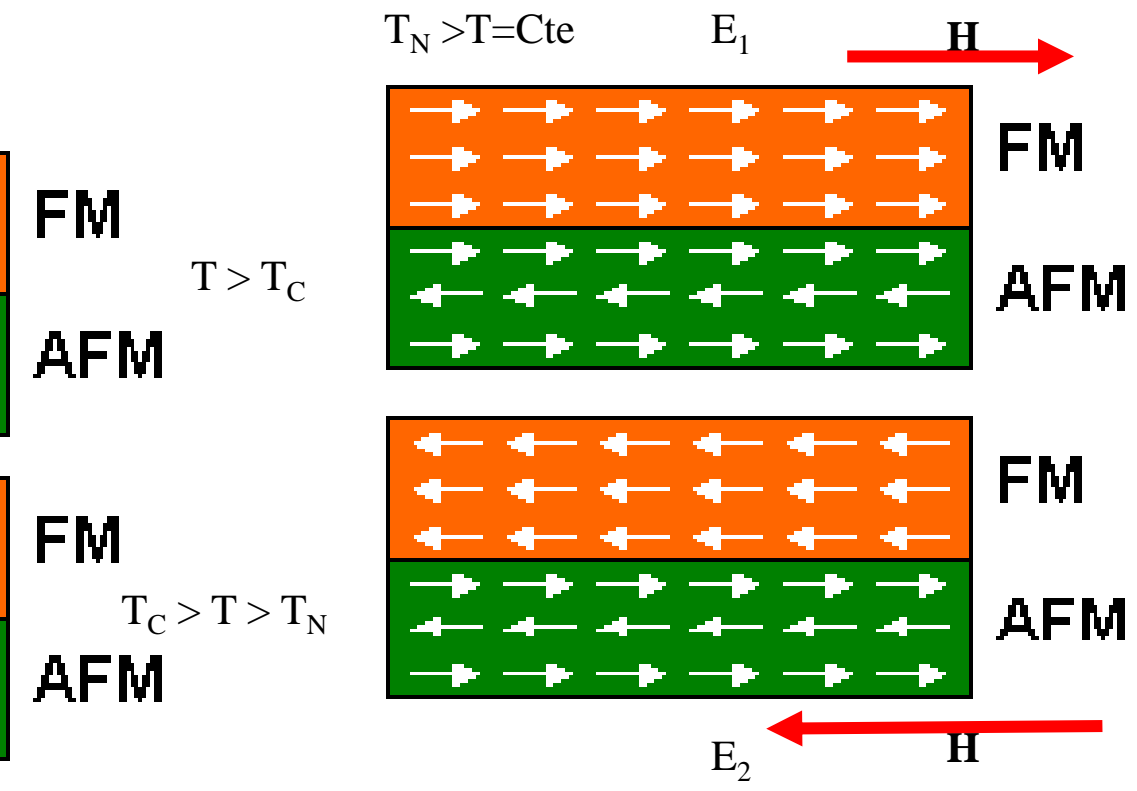
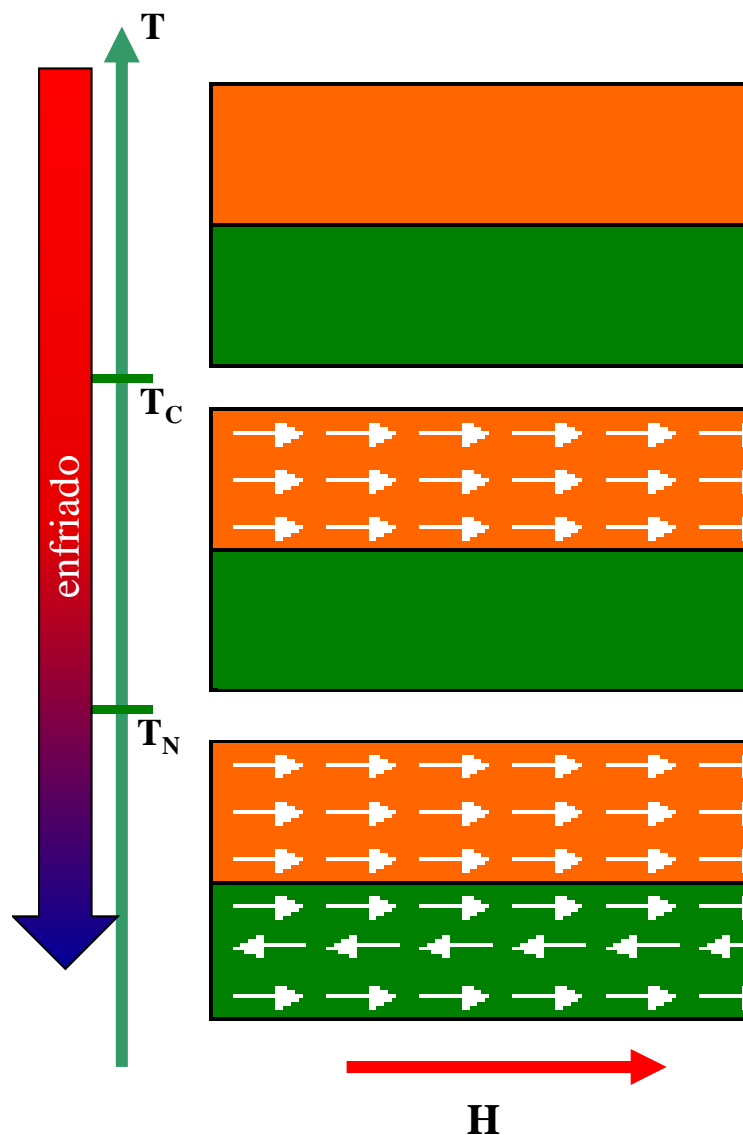
General Electric Research Laboratory, Schenectady, New York

(Received March 7, 1956)

PHYSICAL REVIEW

VOLUME 102, NUMBER 5

JUNE 1, 1956



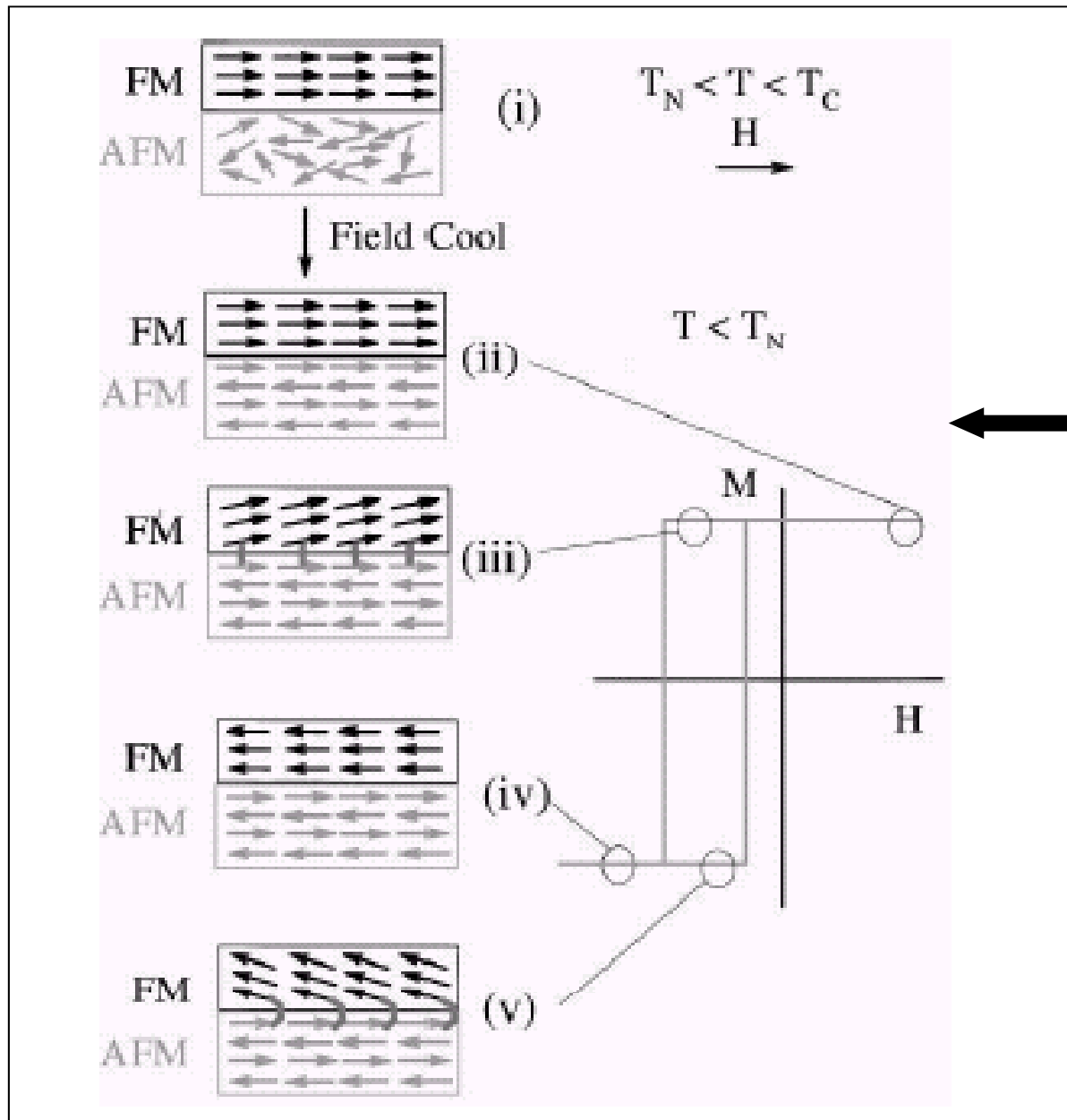
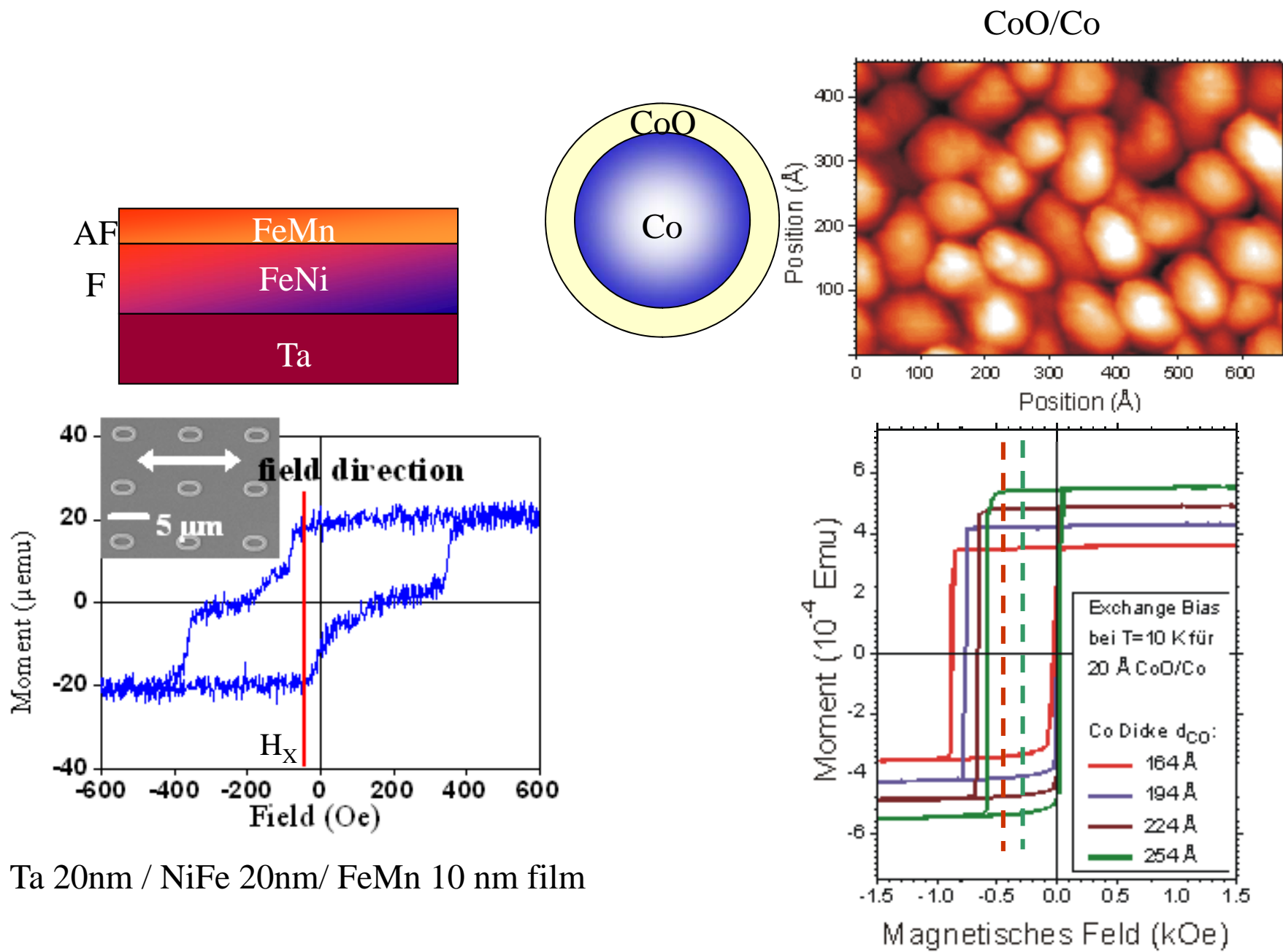


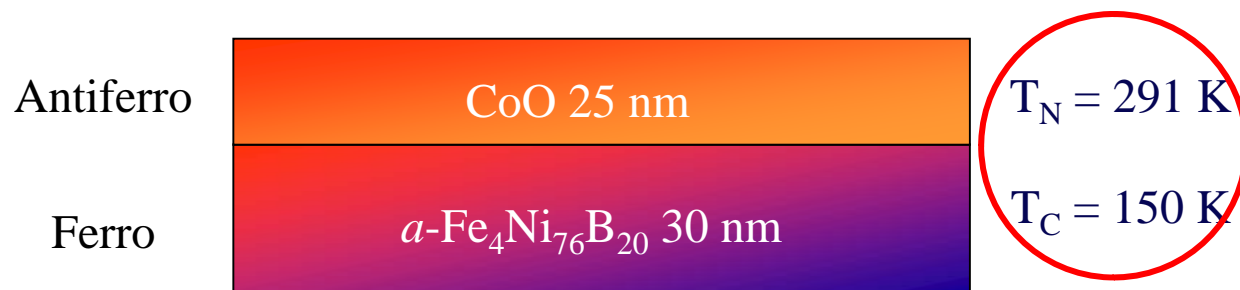
Diagrama esquemático
 de una configuración
 de spin FM /AFM.

Observación de la anisotropía de intercambio (Exchange bias)



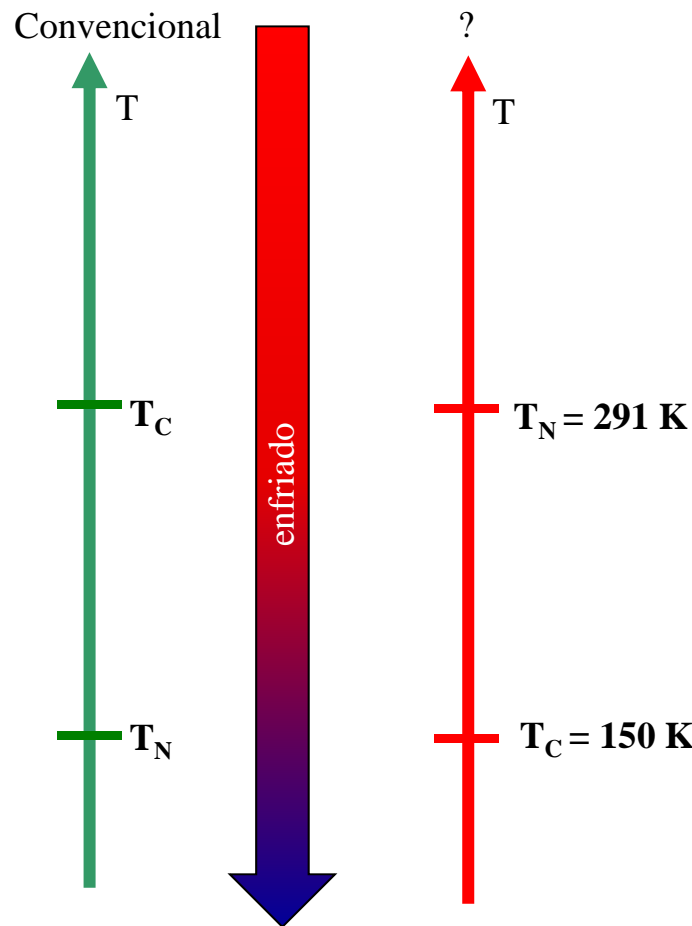
Exchange Coupling in the Paramagnetic State

J. W. Cai, Kai Liu, and C. L. Chien, *The Johns Hopkins University,
Baltimore, MD 21218*

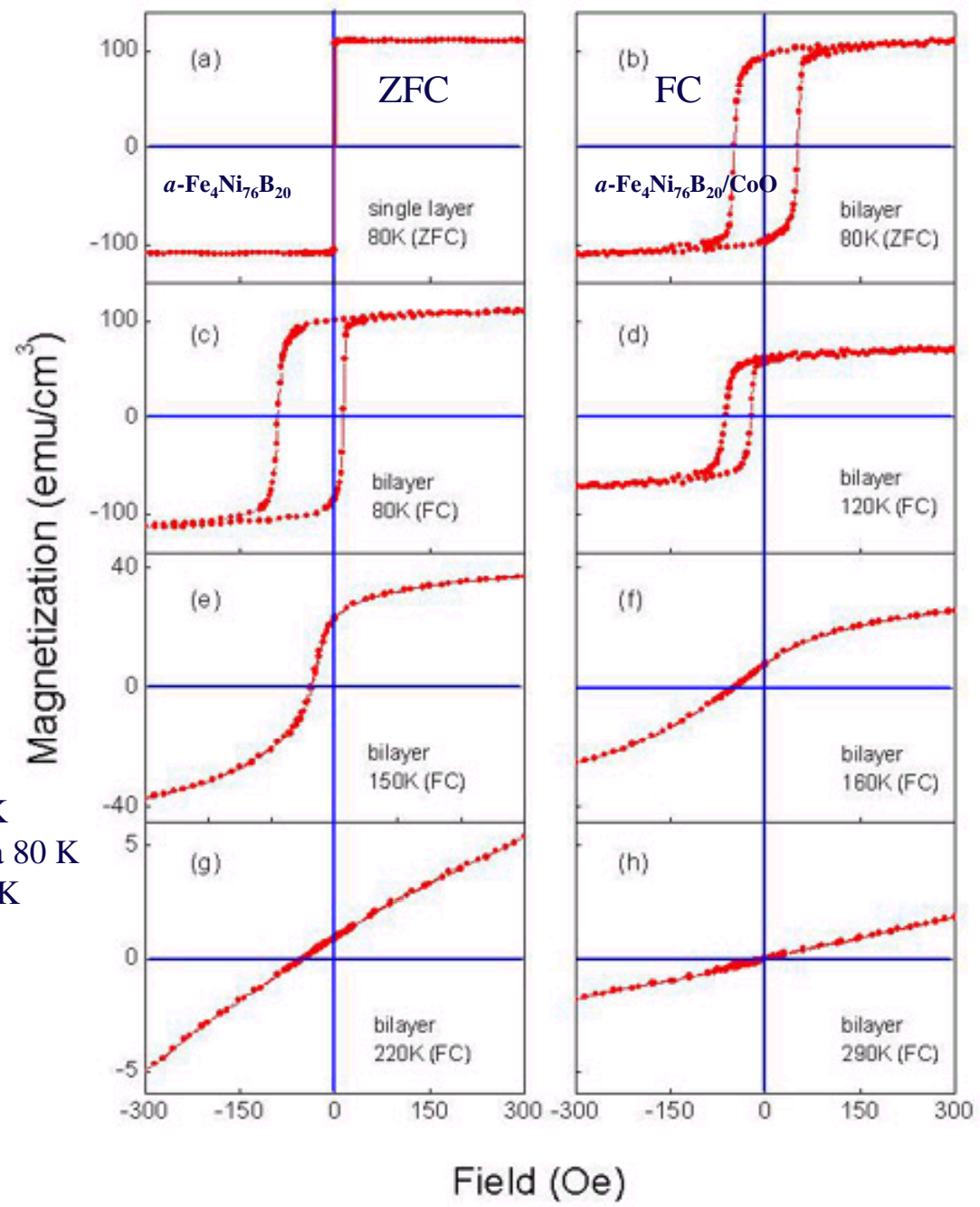


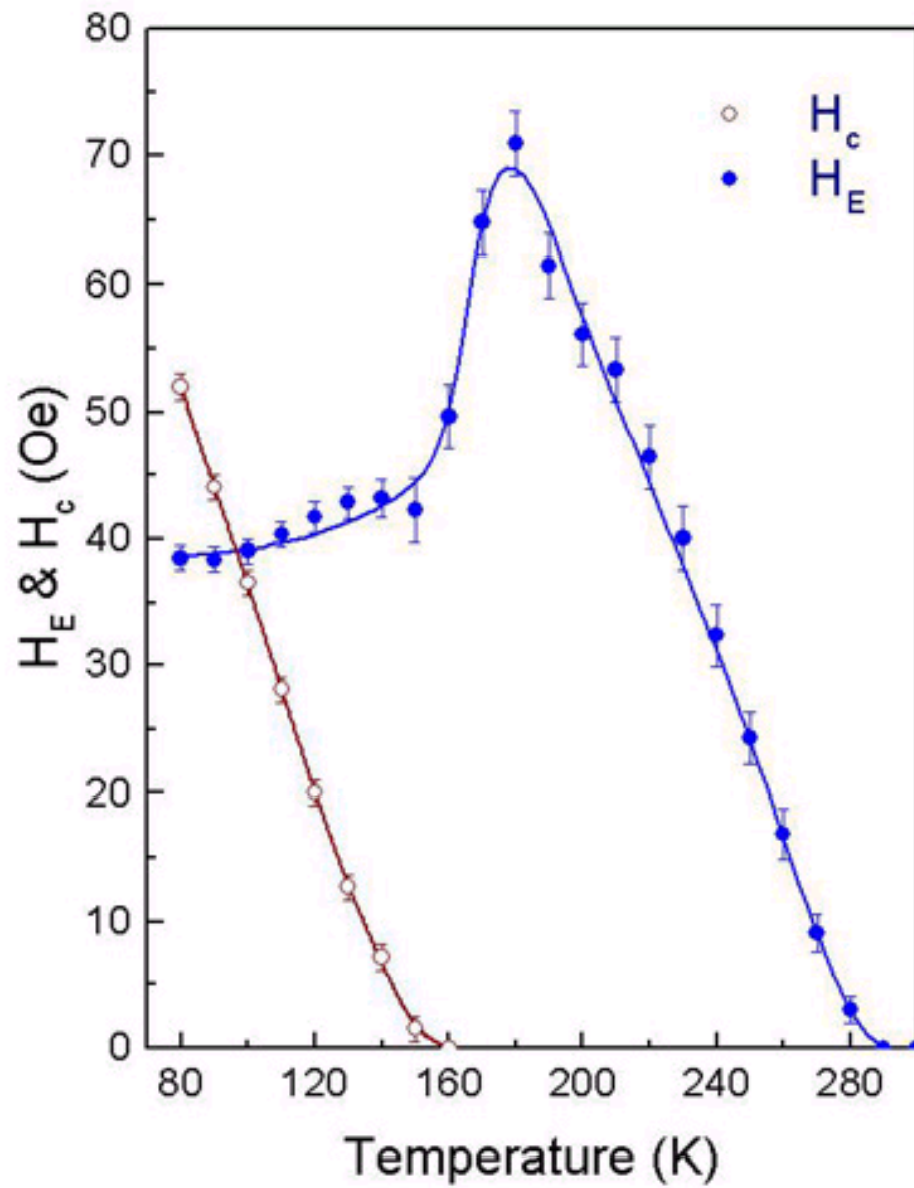
Reference

J. W. Cai, Kai Liu, and C. L. Chien, Phys. Rev. B 60, 72 (1999).



- (a), (b) ZFC hasta 80 K
- (c) FC en 10 kOe hasta 80 K
- (d) Llevado hasta 120 K
- (e) 150 K
- (f) 160 K
- (g) 220 K (g)
- (h) 290 K (h)

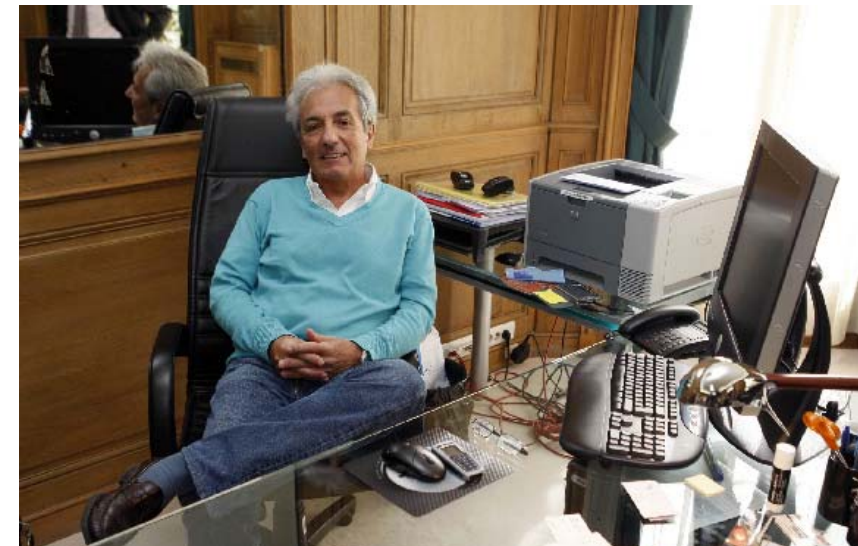
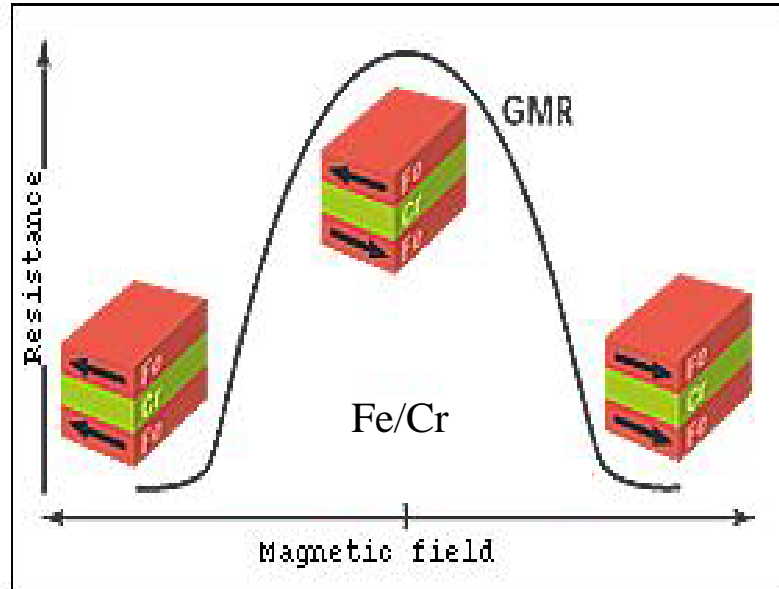




Temperature dependence of exchange field H_E and coercivity H_C of $a\text{-Fe}_4\text{Ni}_{76}\text{B}_{20}$ (30 nm)/CoO(25 nm) after field cooling in 10 kOe to 80 K.

Anisotropía de intercambio – válvula de spin

Magnetoresistencia gigante



Albert Fert, Nobel Prize in Physics 2007

Giant Magnetoresistance of (001) Fe/(001) Cr Magnetic Superlattices

M. N. Baibich,^(a) J. M. Broto, A. Fert, F. Nguyen Van Dau, and F. Petroff
Laboratoire de Physique des Solides, Université Paris-Sud, F-91405 Orsay, France

P. Eitenne, G. Creuzet, A. Friederich, and J. Chazelas
Laboratoire Central de Recherches, Thomson CSF, B.P. 10, F-91401 Orsay, France
(Received 24 August 1988)

PHYSICAL REVIEW LETTERS

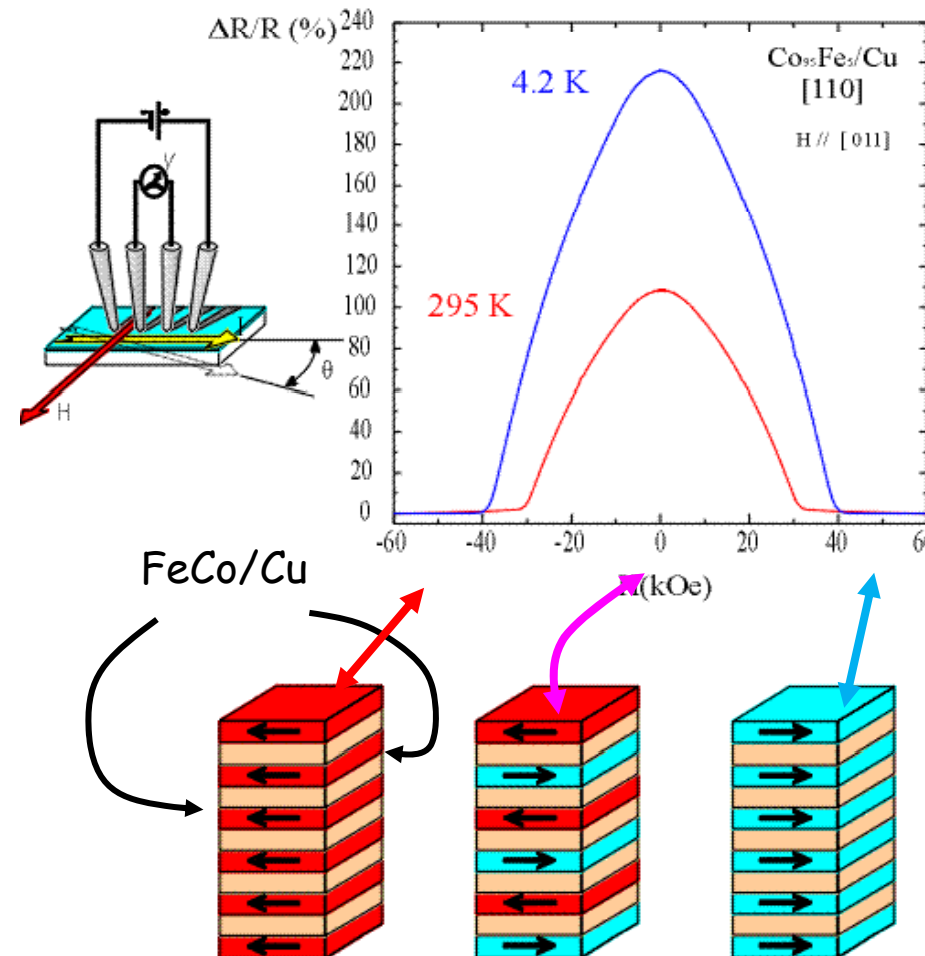
VOLUME 61, NUMBER 21

21 NOVEMBER 1988

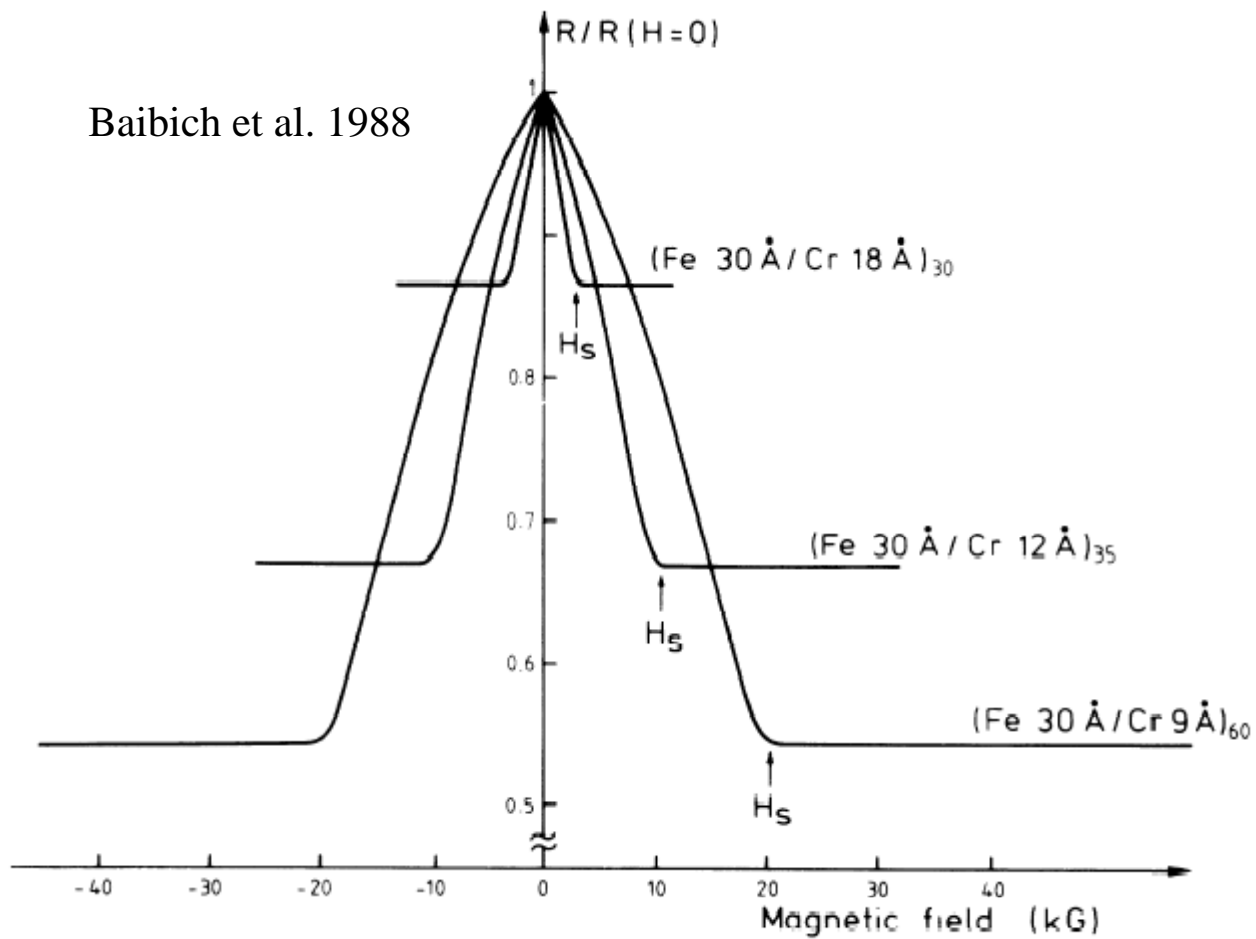


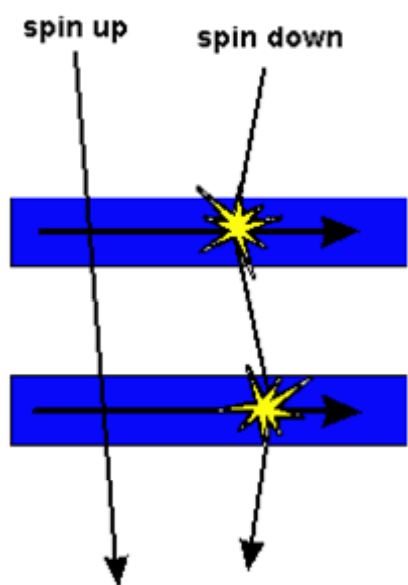
Peter Grünberg, Nobel Prize in Physics 2007

Giant Magnetoresistance



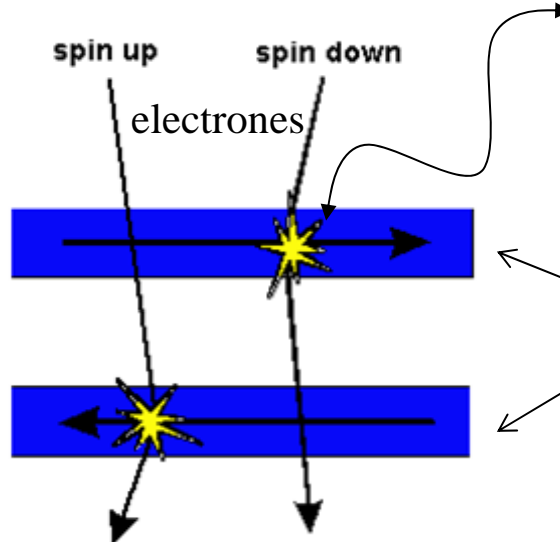
Resultados experimentales





Acoplamiento
ferro

Baja resistencia



Acoplamiento
antifero

Alta resistencia

dispersión

Sentido de la
magnetización
en las capas

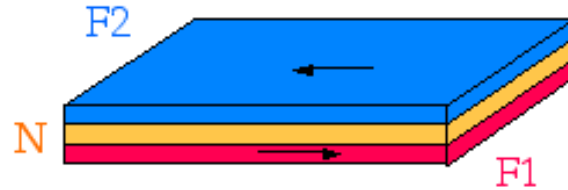
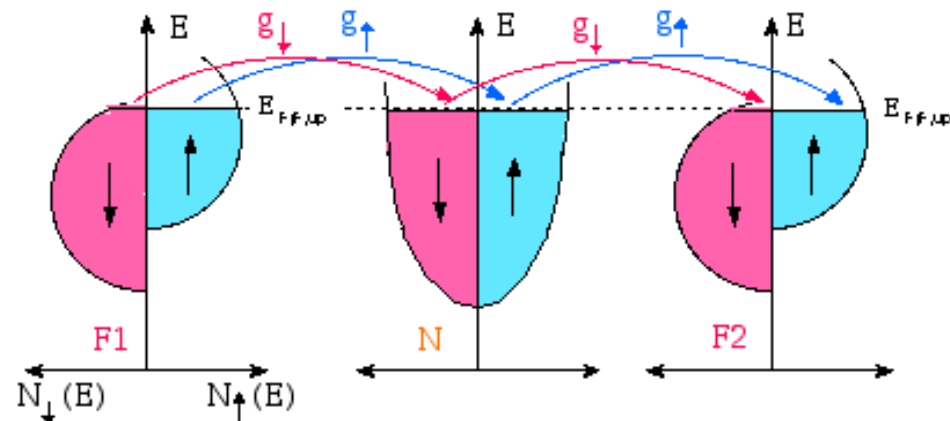
Magnetoresistance - spin valve

$$g \propto N(E_F)$$

F1 and F2 parallel:

$$\begin{aligned} g_{\uparrow} &> g_{\downarrow} \\ g_{\uparrow} &\text{dominates} \end{aligned}$$

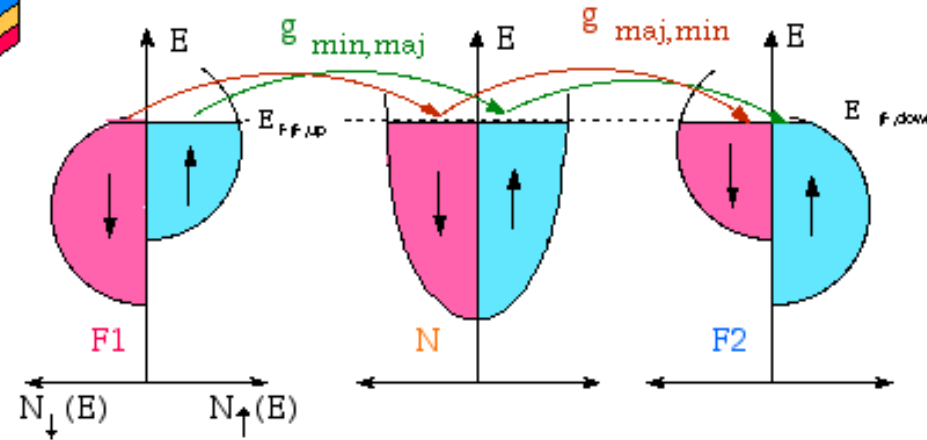
Low R state



F1 and F2 antiparallel:

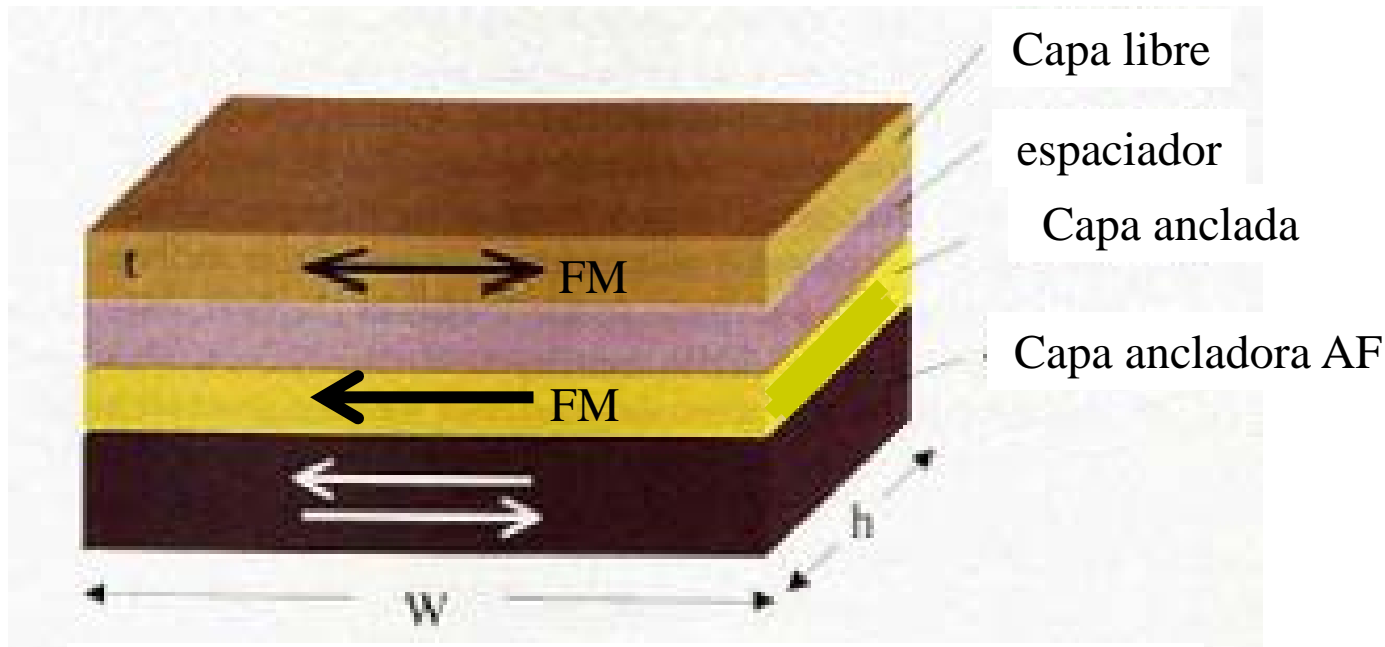
$$g_{\min,\text{maj}} = g_{\text{maj},\min} < g_{\uparrow}$$

High R state

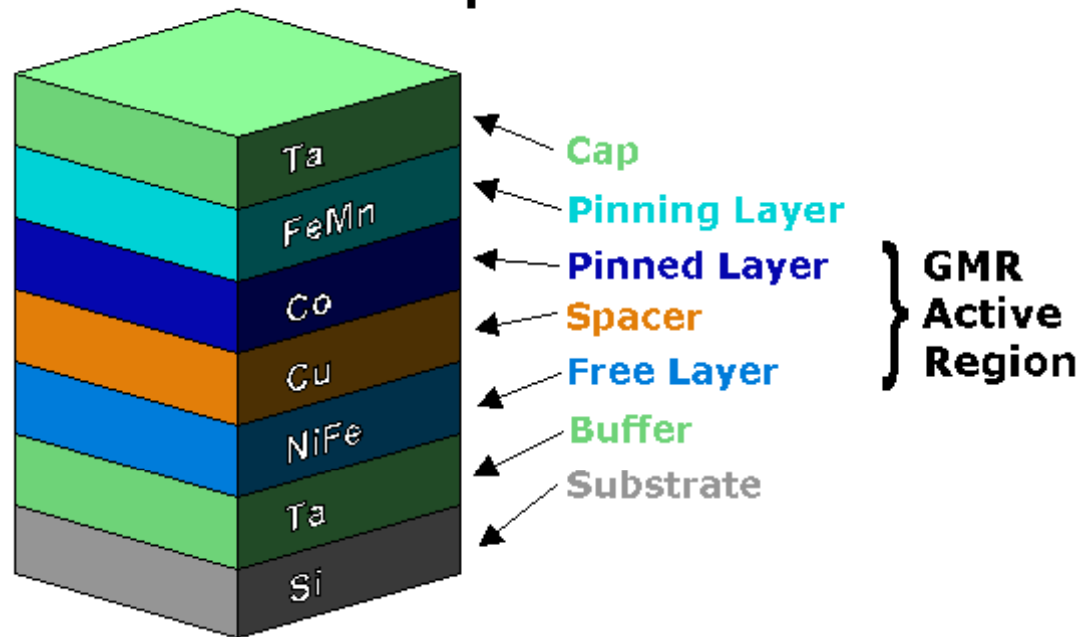


Grunberg PRB (89), Fe/Cr spin valve MR=1.5%

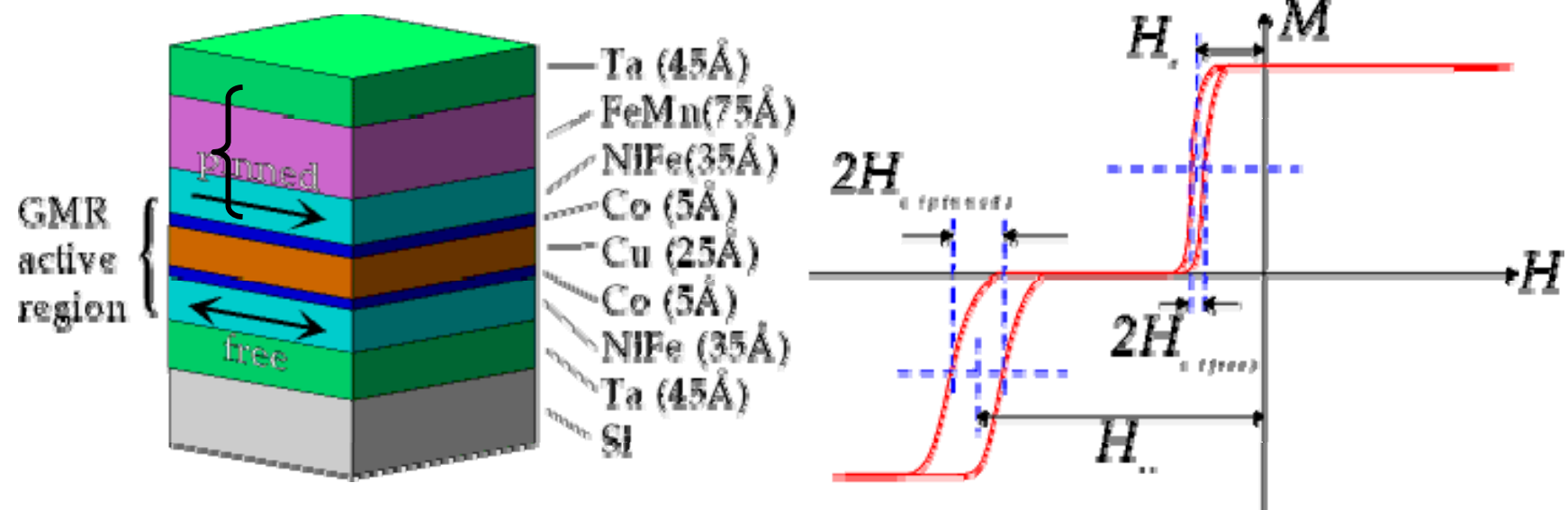
Baibich et al., PRL (88), Fe/Cr multilayer

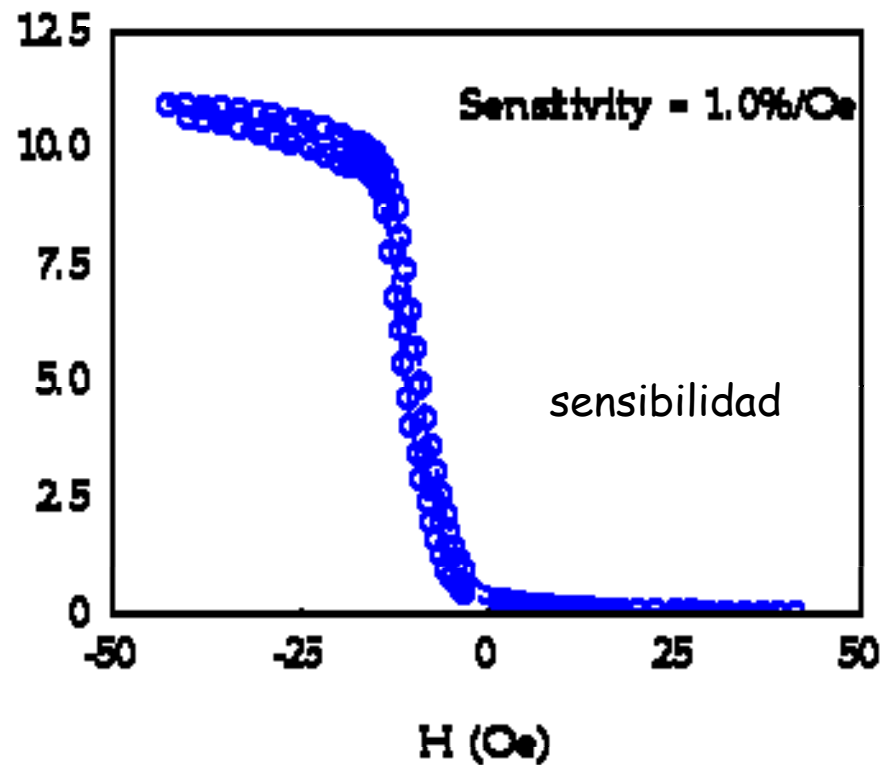
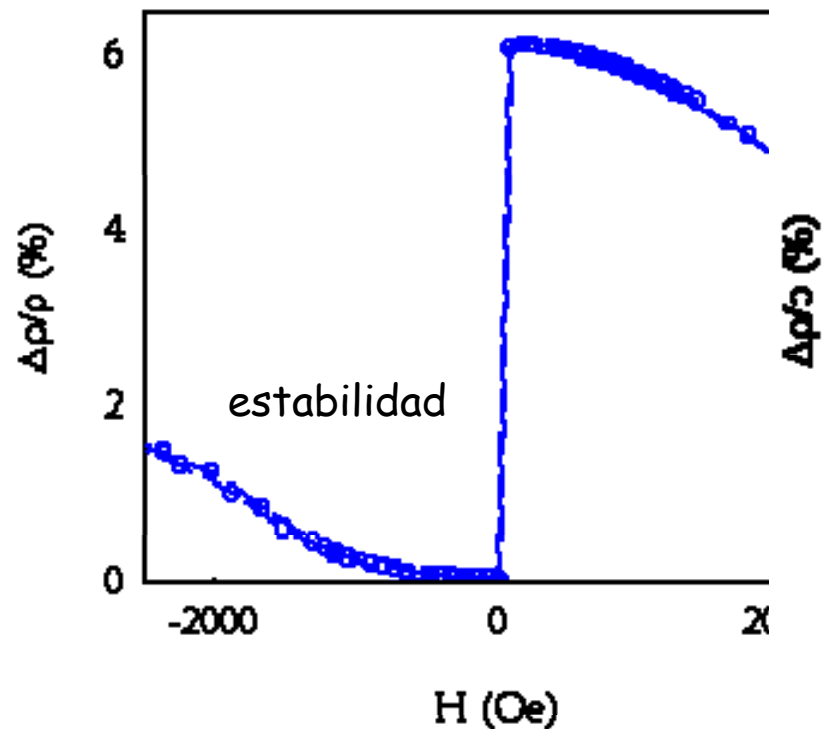


Spin Valve Structure



Válvula de spin

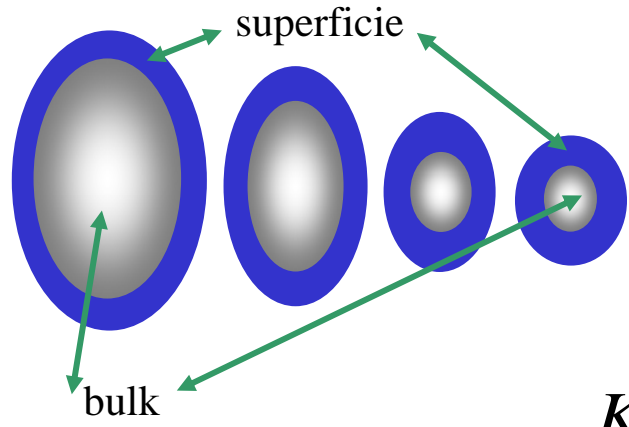




[animación](#)

Anisotropía en nanopartículas magnéticas y fluctuaciones térmicas

anisotropía de superficie en nanopartículas



$$K_{ef} = K_B + K_{V_S}^{ef}$$

|

$$K_{V_S}^{ef} \approx \frac{SK_S}{V} \approx \frac{4\pi r^2}{\frac{4}{3}\pi r^3} K_S = \frac{3}{r} K_S = \frac{6}{d} K_S \quad \begin{matrix} \text{Partícula} \\ \text{esférica} \end{matrix}$$

|

superficies/interfaces:

- discontinuidad composicional y configuracional
- mayor efecto anisotrópico

$$K_{ef} = K_B + \frac{6K_s}{d}$$

↓

$$K_{ef} = K_B + \gamma \frac{K_s}{d}$$

Bødker et. Al (1994)

Anisotropía de superficie - ejemplo

$$K_B(Co_{fcc}) \approx 1 \times 10^5 J/m^3$$

$$K_S(Co / Al_2O_3) \approx 3.3 \times 10^{-4} J/m^2$$

$$K_{ef} = K_B + \gamma \frac{K_s}{d}$$

$$K_{ef}(Co / Al_2O_3) \approx \left[1 \times 10^5 + 6 \frac{3.3 \times 10^{-4}}{11 \times 10^{-9}} \right] J/m^3 \approx 2.8 \times 10^5 J/m^3$$

Si $d \sim 3 \text{ nm} = 3 \times 10^{-9} \text{ m}$



$$K_{ef}(Co / Al_2O_3) \approx 10^6 J/m^3$$

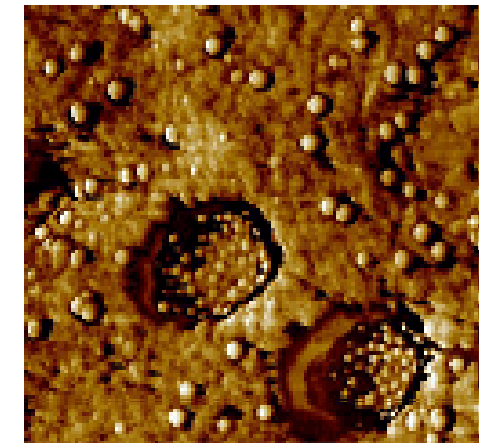
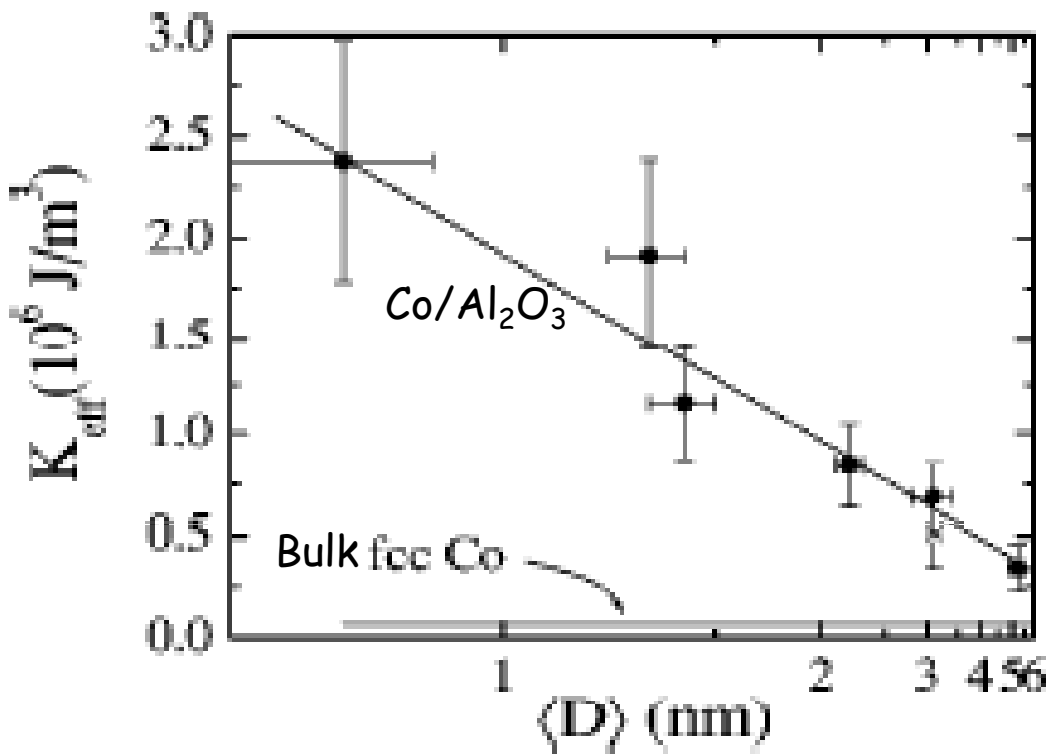


Imagen MFA de nanopartículas de Co fcc en una matriz de alúmina. Las partículas son de aprox 11 nm (diámetro).

$$\tau = \tau_0 e^{\frac{K_{ef}V}{kT}}$$

Mayores tiempos de relajación



F. Luis, J.M. Torres, L.M. Gracia, J. Bartolomé, J. Stankiewicz, F. Petroff, F. Fettar, J. L. Maurice and A. Vaurés. Phys. Rev B, **65** (2002) 094409

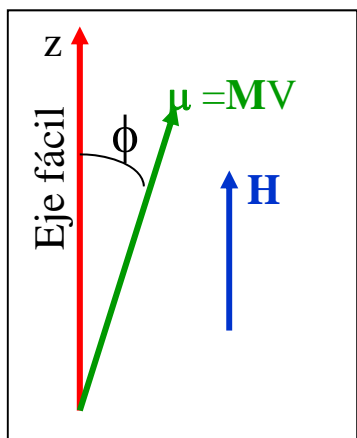
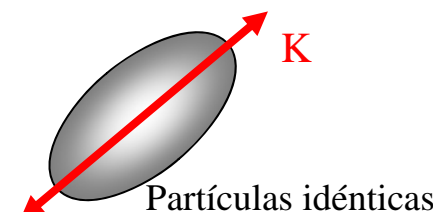
Modelo de Stoner - Wohlfarth

monodominio

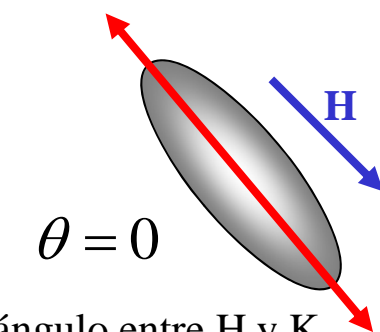
Anisotropía uniaxial

no interactuantes

Campo paralelo al eje fácil

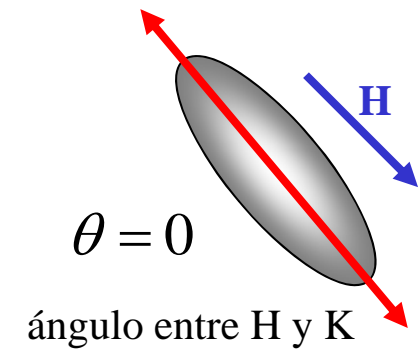
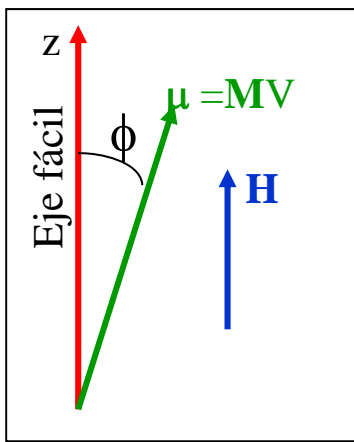


$$E_K = e_K V = KV \sin^2 \phi$$



$$E_H = -\vec{\mu} \cdot \vec{B} = -\mu_0 \vec{\mu} \cdot \vec{H} = -\mu_0 V M_z H = -\mu_0 V M_s H \cos \phi$$

$$E = E_K + E_H = KV \sin^2 \phi - \mu_0 V M_s H \cos \phi$$

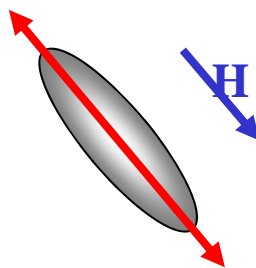


$$E = E_K + E_H = KV \sin^2 \phi - \mu_0 V M_s H \cos \phi$$

llamamos Campo de anisotropía

$$H_K = \frac{2K}{\mu_0 M_s} \quad h = \frac{H}{H_K} = \frac{\mu_0 M_s H}{2K}$$

$$E = KV(\sin^2 \phi - 2h \cos \phi)$$



extremo $E = KV(\sin^2 \phi - 2h \cos \phi)$

$$\frac{\partial E}{\partial \phi} = 0 \Rightarrow \sin \phi (\cos \phi + h) = 0$$

mínimo $\frac{\partial^2 E}{\partial \phi^2} = 2KV[\cos \phi (\cos \phi + h) - \sin^2 \phi] > 0$

$$\begin{cases} \phi = 0 \\ \phi = \pi \\ \cos \phi = -h \end{cases}$$

Valores de la función

$$E(\phi = 0) = -2hKV$$

$$E(\phi = \pi) = 2hKV$$

$$E(\cos \phi = -h) = KV(1 + h^2)$$

Condición de mínimo

$$\frac{\partial^2 E}{\partial \phi^2}(\phi = 0) = 2KV(1 + h) > 0$$

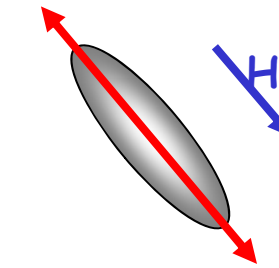
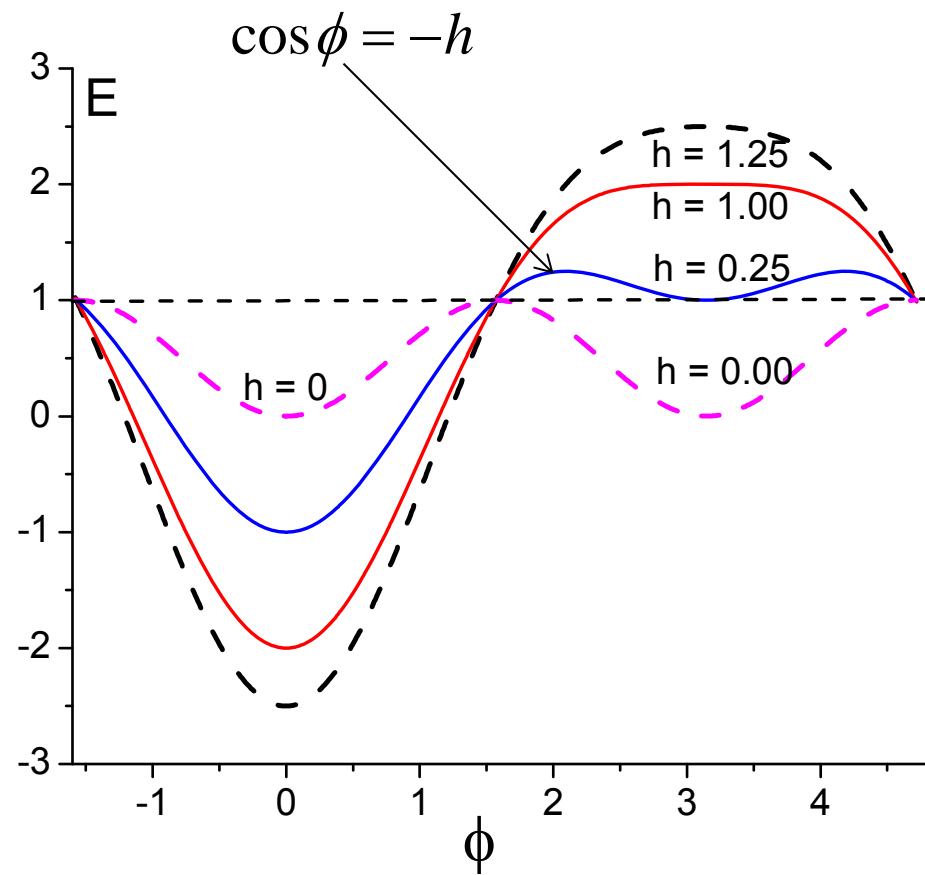
$$\frac{\partial^2 E}{\partial \phi^2}(\phi = \pi) = 2KV(1 - h) > 0$$

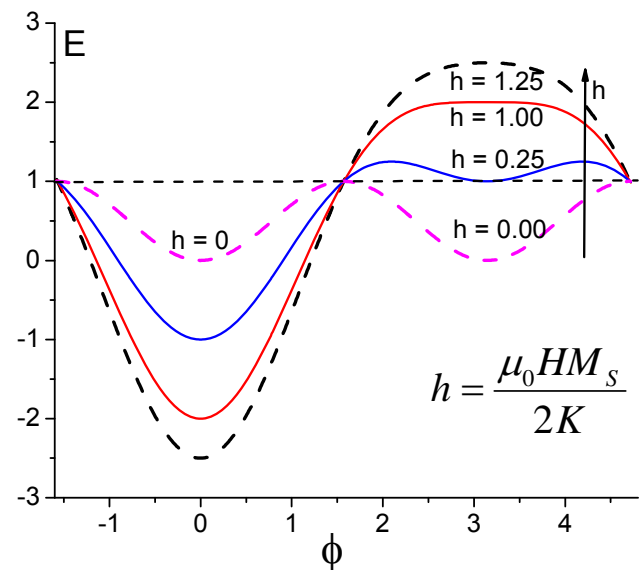
$$\frac{\partial^2 E}{\partial \phi^2}(\cos \phi = -h) = 2KV(h^2 - 1) > 0$$

siempre que $h < 1 \Rightarrow \text{máximo}$

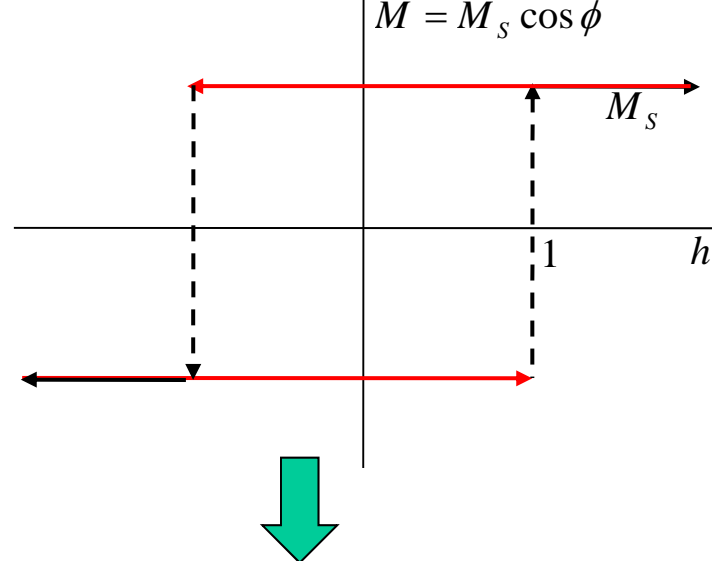
$$E = KV(\sin^2 \phi - 2h \cos \phi)$$

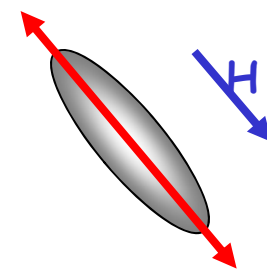
$$h = \frac{H}{H_K} \quad H_K = \frac{2K}{\mu_0 M_s}$$



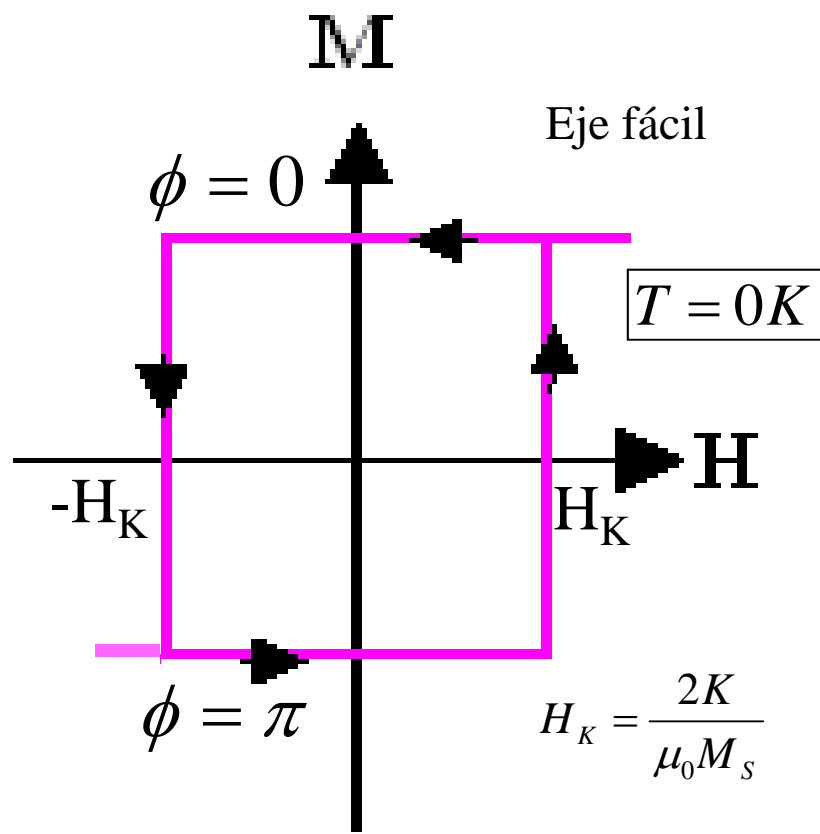


$$h = \frac{\mu_0 H M_s}{2K}$$



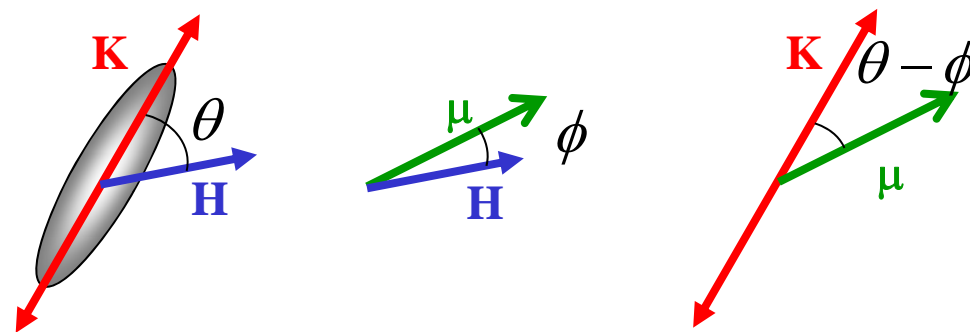


$$M_z = M_s \cos \theta$$

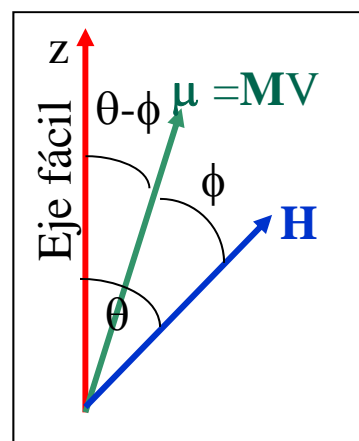


Campo en dirección arbitraria

$$\theta \neq 0$$



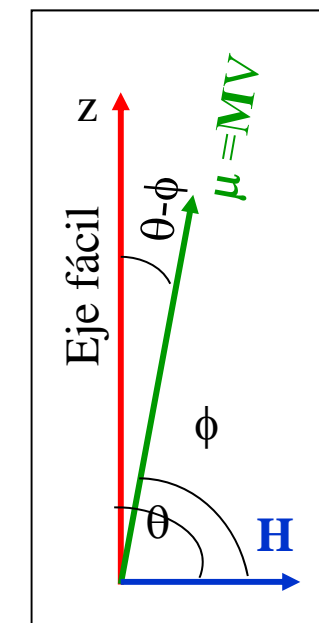
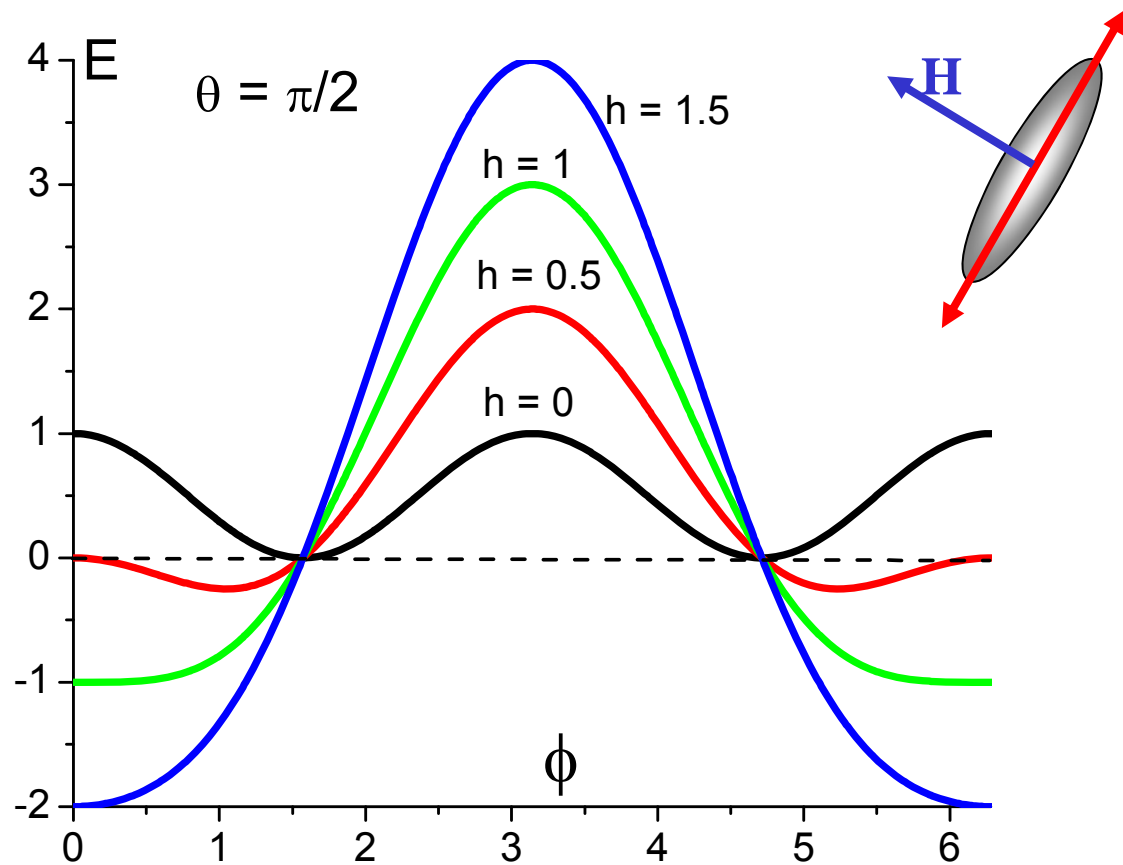
$$E = E_K + E_H = KV[\sin^2(\phi - \theta) - 2h\cos\phi]$$



$$\theta = \pi / 2$$

$$E = E_K + E_H = KV \left[\sin^2(\phi - \pi/2) - 2h \cos \phi \right] = KV \left(\cos^2(\phi) - 2h \cos \phi \right)$$

$$E = KV \cos \phi (\cos(\phi) - 2h)$$



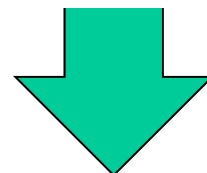
$$E = KV \cos \phi (\cos \phi - 2h)$$

extremo

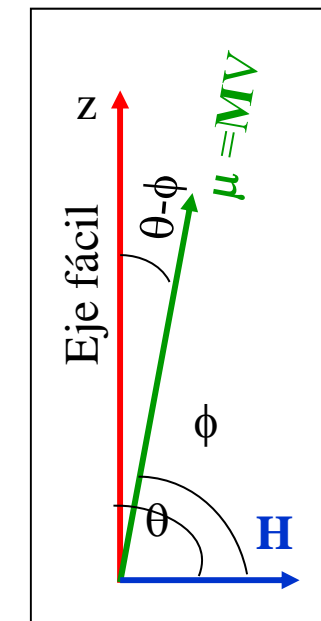
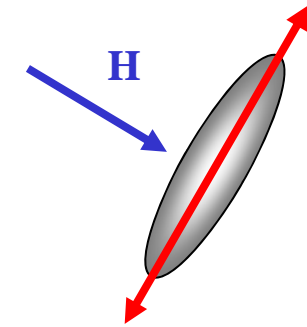
$$\begin{cases} \sin \phi = 0 \rightarrow \phi = \begin{cases} 0 \\ \pi \end{cases} \\ \cos \phi = h; |h| < 1 \end{cases}$$



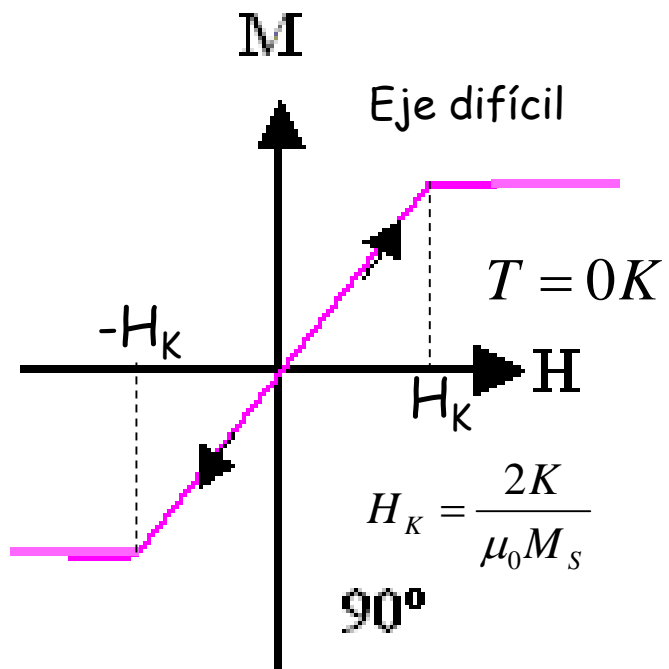
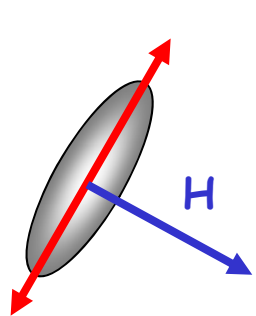
$$\frac{M_z}{M_s} = \cos \phi \quad h = \frac{H}{H_K}$$



$$M_z = \frac{M_s}{H_K} H; \quad |h| < 1$$

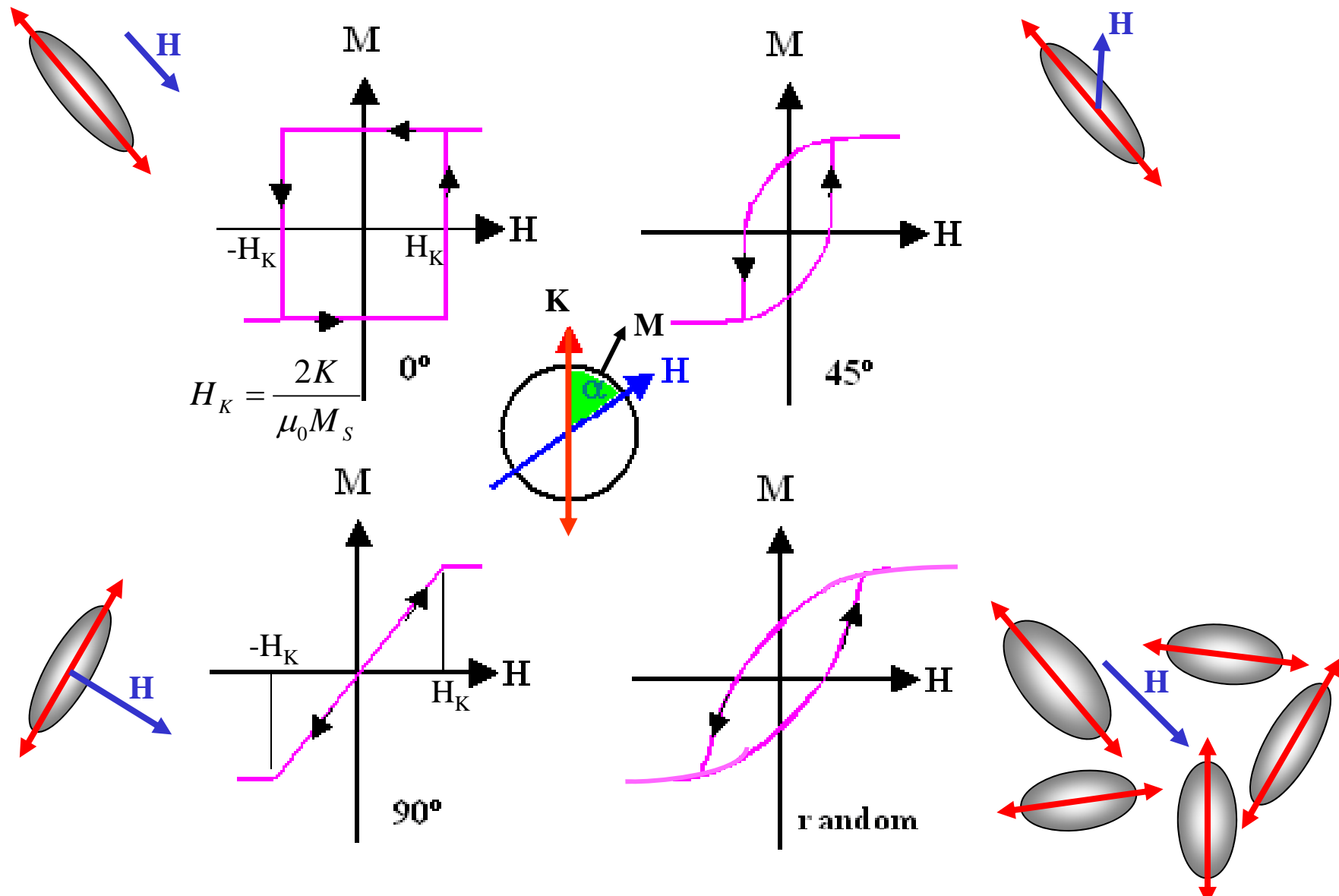


$$M_z = \frac{M_s}{H_K} H; \quad |h| < 1$$



Partículas ferromagnéticas pequeñas – modelo de Stoner - Wohlfarth

régimen bloqueado $\rightarrow T = 0$



E.C. Stoner y E.P. Wohlfarth, IEEE Transactions on Magnetics 27, 3475-3518 (1991)

Rapid-turnaround characterization methods for MRAM development

by D. W. Abraham,
P. L. Trouilloud,
and D. C. Worledge

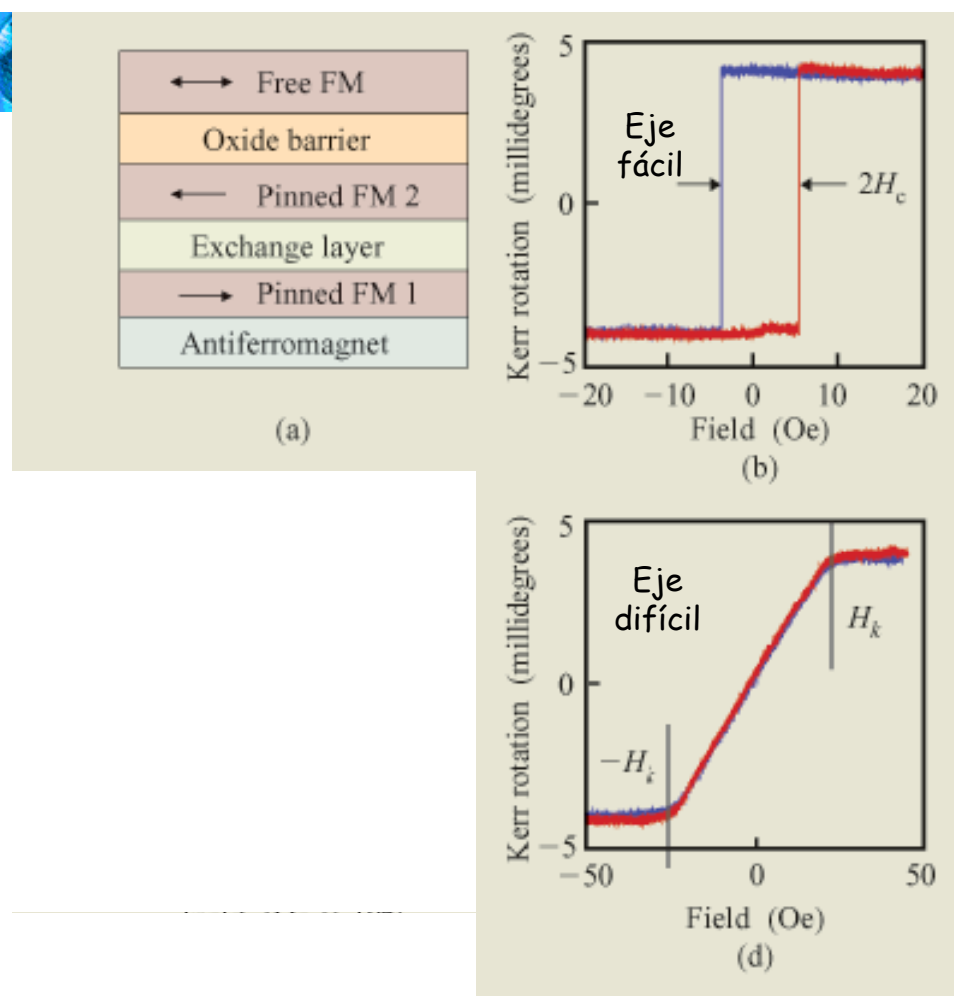


Figure 4

(a) Typical data for a Stoner-Wohlfarth stack. (a) Kerr easy-axis (EA) data taken at low field, showing the excellent low Néel offset and sharp hysteresis loop. (c) High-field EA Kerr magnetometry data showing the relative motion of the magnetization in the two ferromagnetic films, permitting direct measurement of pinning and interlayer coupling. (d) Hard-axis data revealing the film anisotropy.

[599]

A MECHANISM OF MAGNETIC HYSTERESIS IN
HETEROGENEOUS ALLOYS

By E. C. STONER, F.R.S. AND E. P. WOHLFARTH

Physics Department, University of Leeds

(Received 24 July 1947)

VOL. 240. A. 826 (Price 10s.)

74

[Published 4 May 1948]

The Royal Society is collaborating with JSTOR to digitize, preserve, and extend access to
Philosophical Transactions of the Royal Society of London. Series A, Mathematical and Physical Sciences.



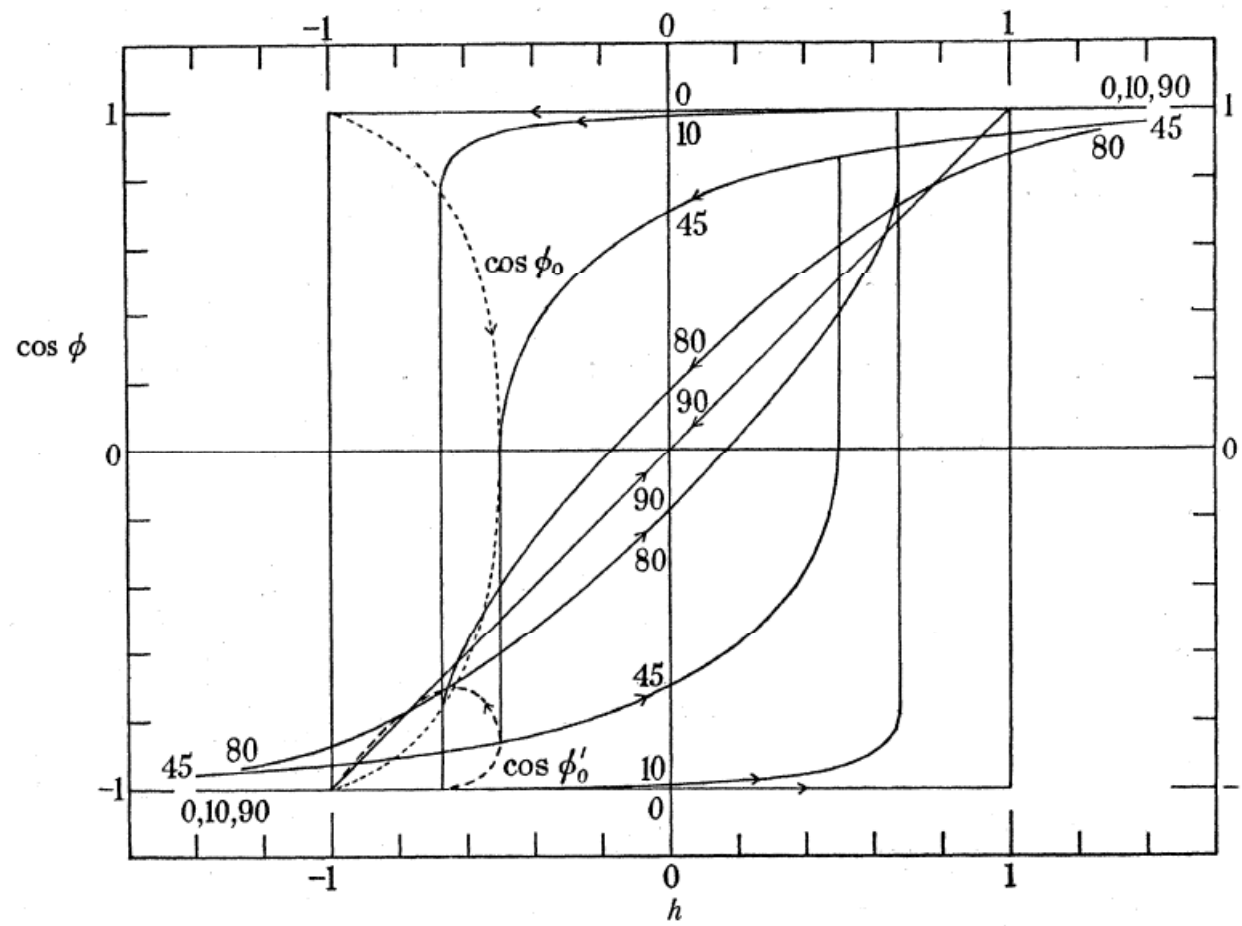


FIGURE 6. Magnetization curves for prolate spheroids. The resolved magnetization in the positive field direction is given by $I_0 \cos \phi$, where I_0 is the saturation magnetization. The field, H , is given by $H = (N_b - N_a) I_0 h$, where N_a and N_b are the demagnetization coefficients along the polar and equatorial axes. The angle, θ , between the polar axis and the direction of the field, is shown, in degrees, by the numbers on the curves. The dotted curves give $\cos \phi_0$ and $\cos \phi'_0$, where ϕ_0 and ϕ'_0 are the angles made with the positive field direction by the magnetization vector at the beginning and end of the discontinuous change at the critical value, h_0 , of the field.

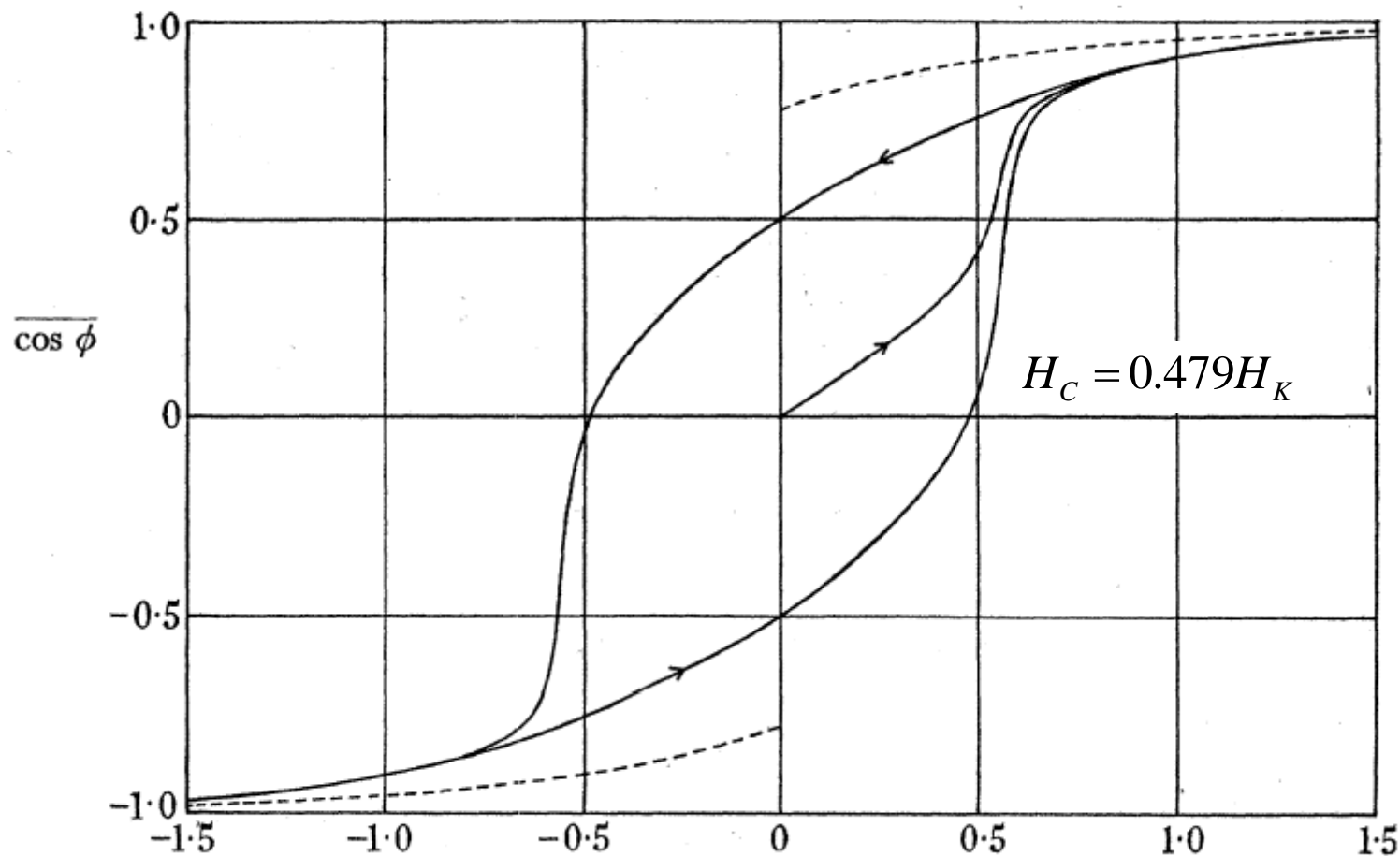
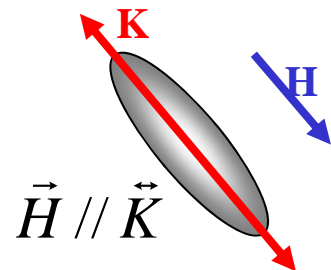


FIGURE 7. Magnetization curves for prolate (full curves) and oblate (broken curves) spheroids orientated at random. The curves refer to similar prolate (or oblate) spheroids orientated at random. $\cos \phi$ is proportional to the mean resolved magnetization per spheroid in the positive field direction, or to the resultant magnetization in this direction of the assembly. $H = (|N_a - N_b|) I_0 h$.

Efectos Dinámicos ($T \neq 0$)

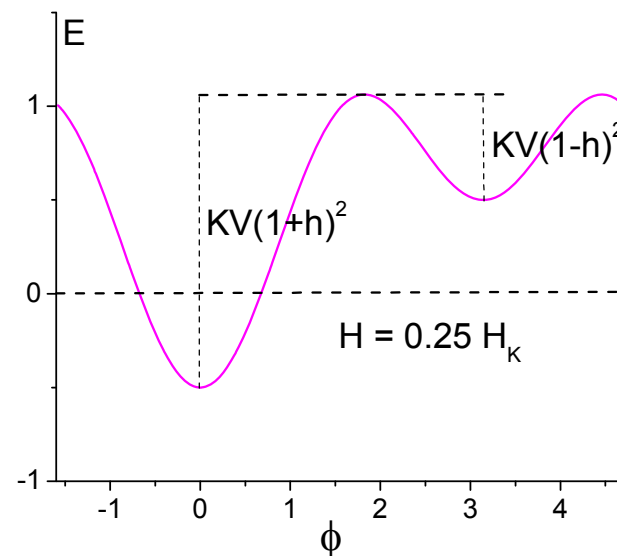
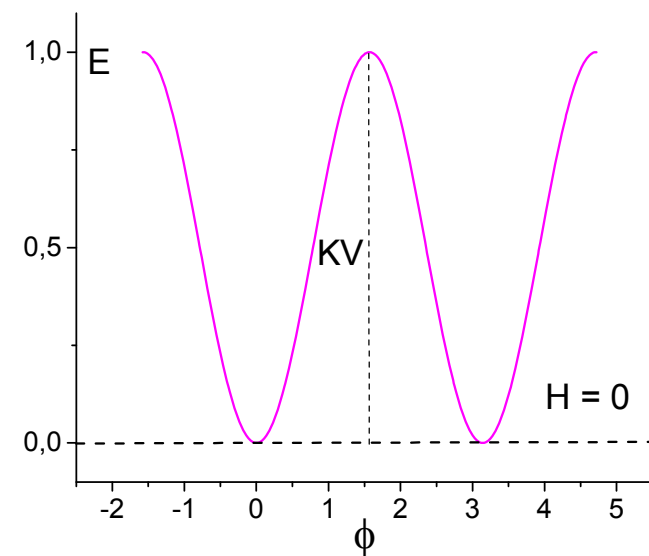
$$E = KV \left(\sin^2 \phi - 2h \cos \phi \right)$$

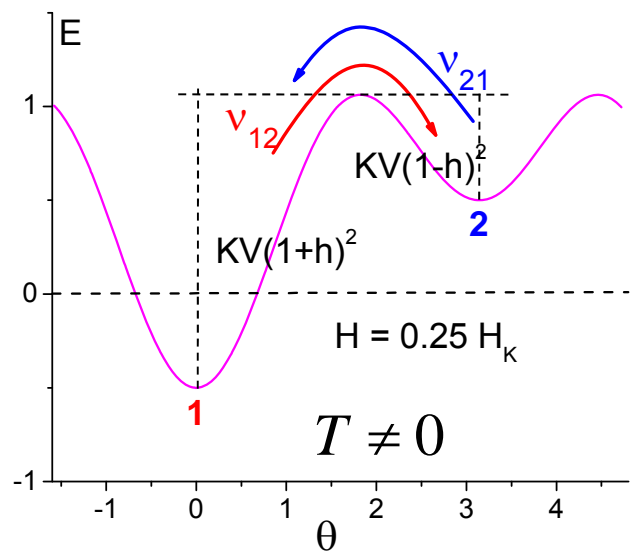


Valores de la función	
$E(\phi = 0) = -2hKV$	mín o máx
$E(\phi = \pi) = 2hKV$	mín o máx
$E(\cos \phi = -h) = KV(1 + h^2)$	máx o inflexión

$$h = \frac{H}{H_K}$$

$$H_K = \frac{2K}{\mu_0 M_s}$$





$$v_{ij} = c_0 e^{-\frac{\Delta E_{ij}}{kT}}$$

Frecuencia de saltos

$\xrightarrow{T=0} v_{ij} = 0$
 $\xrightarrow{T=\infty} v_{ij} = c_0$

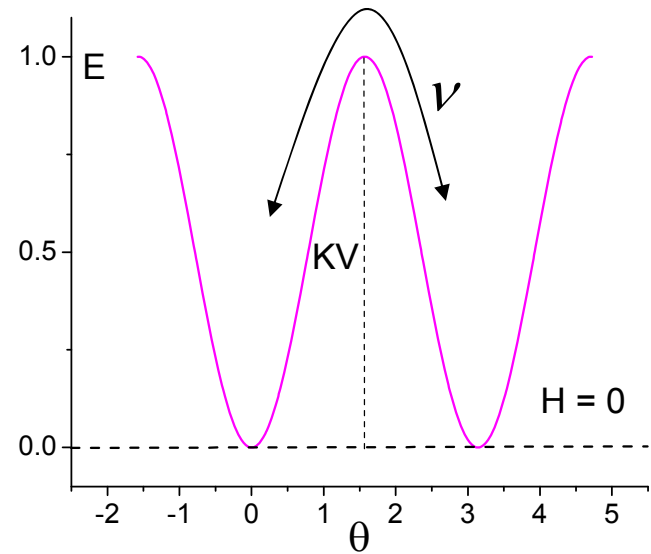
Frecuencia de intentos

$$\tau_{ij} = c_0^{-1} e^{\frac{\Delta E_{ij}}{kT}}$$

Tiempo de relajación

$$\tau_{ij} = c_0^{-1} e^{\frac{\Delta E_{ij}}{kT}}$$

Tiempo de
relajación



Para $H = 0$

$$V_{12} = V_{21} = V$$

$$V = V_0 e^{-\frac{KV}{kT}}$$

$$\tau = \tau_0 e^{\frac{KV}{kT}}$$



$$10^{-12} s \leq \tau_0 \leq 10^{-9} s$$

Estructura de τ_0

$$\tau = \tau_0 e^{\frac{KV}{kT}}$$

$$\tau_0 \approx cte$$

Modelo de Brown

$$\tau_0 \approx \frac{\mu}{2KV\gamma_0} \sqrt{\frac{\pi}{\alpha}} \quad \alpha \approx \frac{KV}{kT}$$

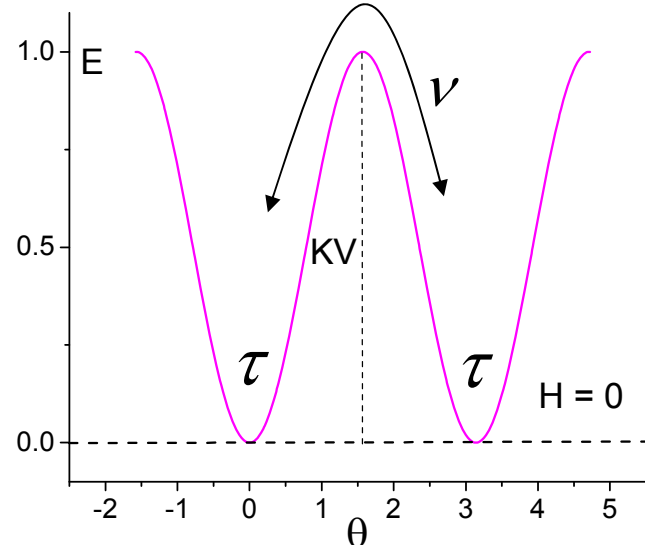
$M_S(T)$

Ejemplo, usando $\tau_0 = 10^{-9}$ s

material	K(J/m ³)	R(nm)	τ (s)
Co	3.9x10 ⁵	4.4	6x10 ⁵
		3.6	0.1
Fe	4.7x10 ⁴	14.0	1.5x10 ⁵
		11.5	0.07

Comportamiento superparamagnético

Tiempo Experimental vs Tiempo de Relajación



$$\tau = \tau_0 e^{\frac{KV}{kT}}$$

Técnica	τ_{exp}
Mössbauer ^{57}Fe , $^{119\text{m}}\text{Sn}$	$\approx 10^{-8}\text{s}$
Susceptibilidad <i>ac</i>	$10^{-4} - 1\text{ s}$
Susceptibilidad <i>ac hf</i>	desde 10^{-6} s
Magnetización <i>dc</i>	$0.1 - 100\text{ s}$

$$\tau_{\text{exp}} < \tau \iff T < T_B$$

Sistema
bloqueado

Histéresis,
desdoblamiento
Zeeman (EM)

$$\tau_{\text{exp}} > \tau \iff T > T_B$$

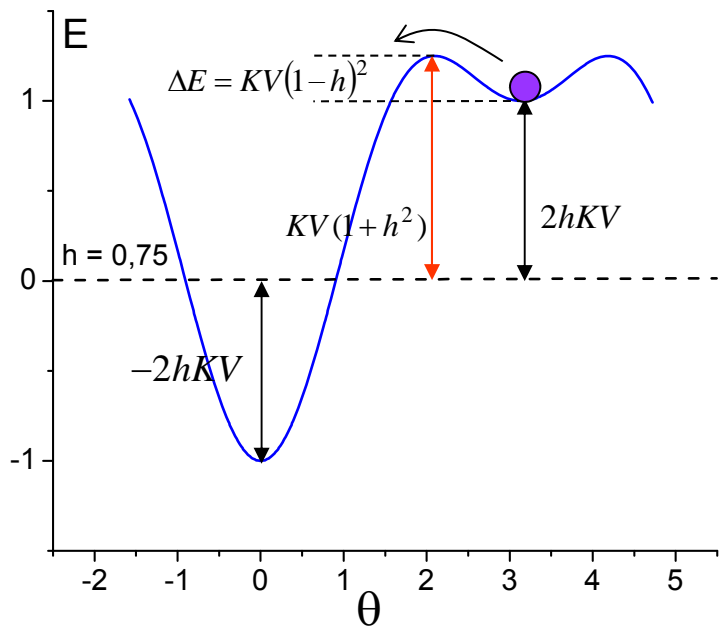
Sistema
desbloqueado

Patrón estático

Equilibrio,
patrón super-
paramagnético (EM)

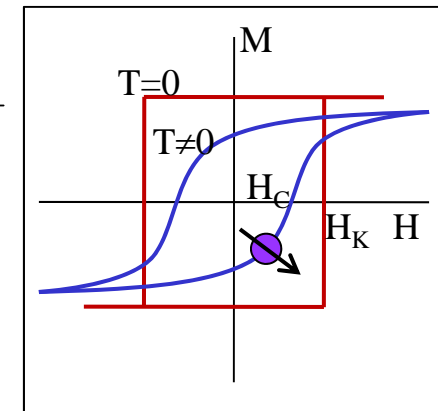
Dependencia del campo coercitivo con la temperatura

$$h = H / H_K = \frac{\mu_0 M_S H}{2K}$$



$$H_C = H_K = \frac{2K}{\mu_0 M_S}$$

$$\tau_{21} = \tau_0 e^{-\frac{KV(1-h)^2}{kT}}$$



a $T \neq 0$ K la inversión de M se producirá cuando $\tau_{21} \approx \tau_{\text{exp}}$

Dependencia del campo coercitivo con la temperatura

$$KV(1-h)^2 = kT \ln(\tau_{\text{exp}} / \tau_0)$$

$$\begin{aligned}\tau_{\text{exp}} &= 10^2 \text{ s} & SQUID \\ \tau_{\text{exp}} &= 10^{-8} \text{ s} & M\ddot{o}ss\end{aligned}$$

$$\ln(\tau_{\text{exp}} / \tau_0) \approx \begin{cases} 27.6 \text{ } kT & SQUID \\ 4.6 \text{ } kT & M\ddot{o}ss \end{cases}$$

$$\begin{array}{ccc} KV(1-h)^2 \approx 27.6 \text{ } kT & \xrightarrow[h \ll 1]{} & KV \approx 27.6 \text{ } kT & SQUID \\ KV(1-h)^2 \approx 4.6 \text{ } kT & & KV \approx 4.6 \text{ } kT & M\ddot{o}ss \end{array}$$

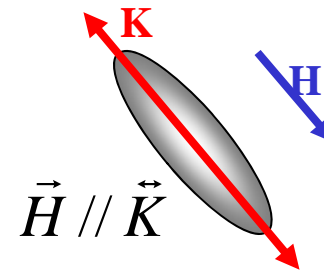
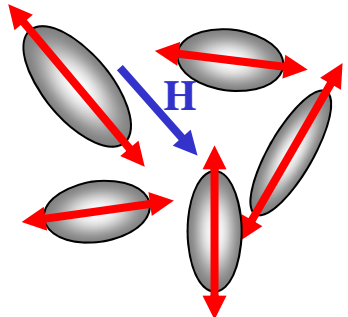
Dependencia del campo coercitivo con la temperatura

$$KV(1-h)^2 \approx kT \ln(\tau_{\text{exp}} / \tau_0)$$

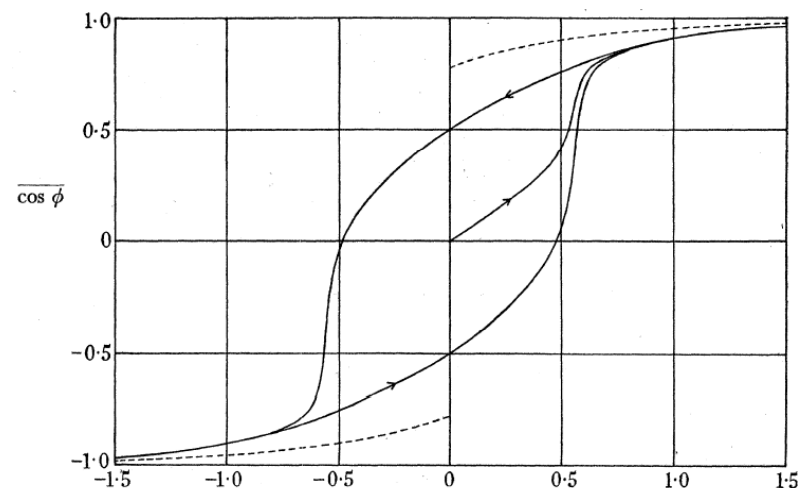
$$h \approx 1 - \sqrt{\frac{kT}{KV} \ln(\tau_{\text{exp}} / \tau_0)}$$

$$H_C(T) \approx H_K \left(1 - \sqrt{\frac{kT}{KV} \ln(\tau_{\text{exp}} / \tau_0)} \right)$$

$$H_C(T) \approx 0.48 H_K \left(1 - \sqrt{\frac{kT}{KV} \ln(\tau_{\text{exp}} / \tau_0)} \right)$$



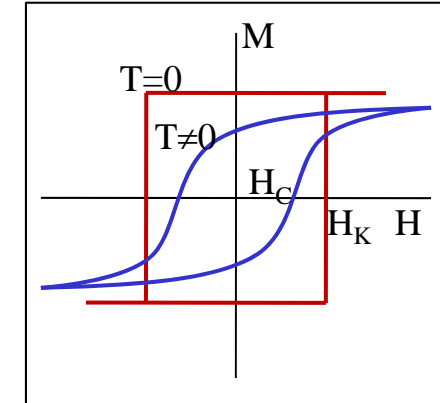
$$H_C(0) = 0.479 H_K$$



Temperature Dependent Magnetic Properties of Barium-Ferrite Thin-Film Recording Media

Yingjian Chen, *Member, IEEE*, and Mark H. Kryder, *Fellow, IEEE*

IEEE TRANSACTIONS ON MAGNETICS, VOL. 34, NO. 3, MAY 1998



$$H_c(t') = H_k \left\{ 1 - \left[\frac{k_B T}{K_u V_{sw}} \ln \left(\frac{At'}{0.693} \right) \right]^n \right\}$$

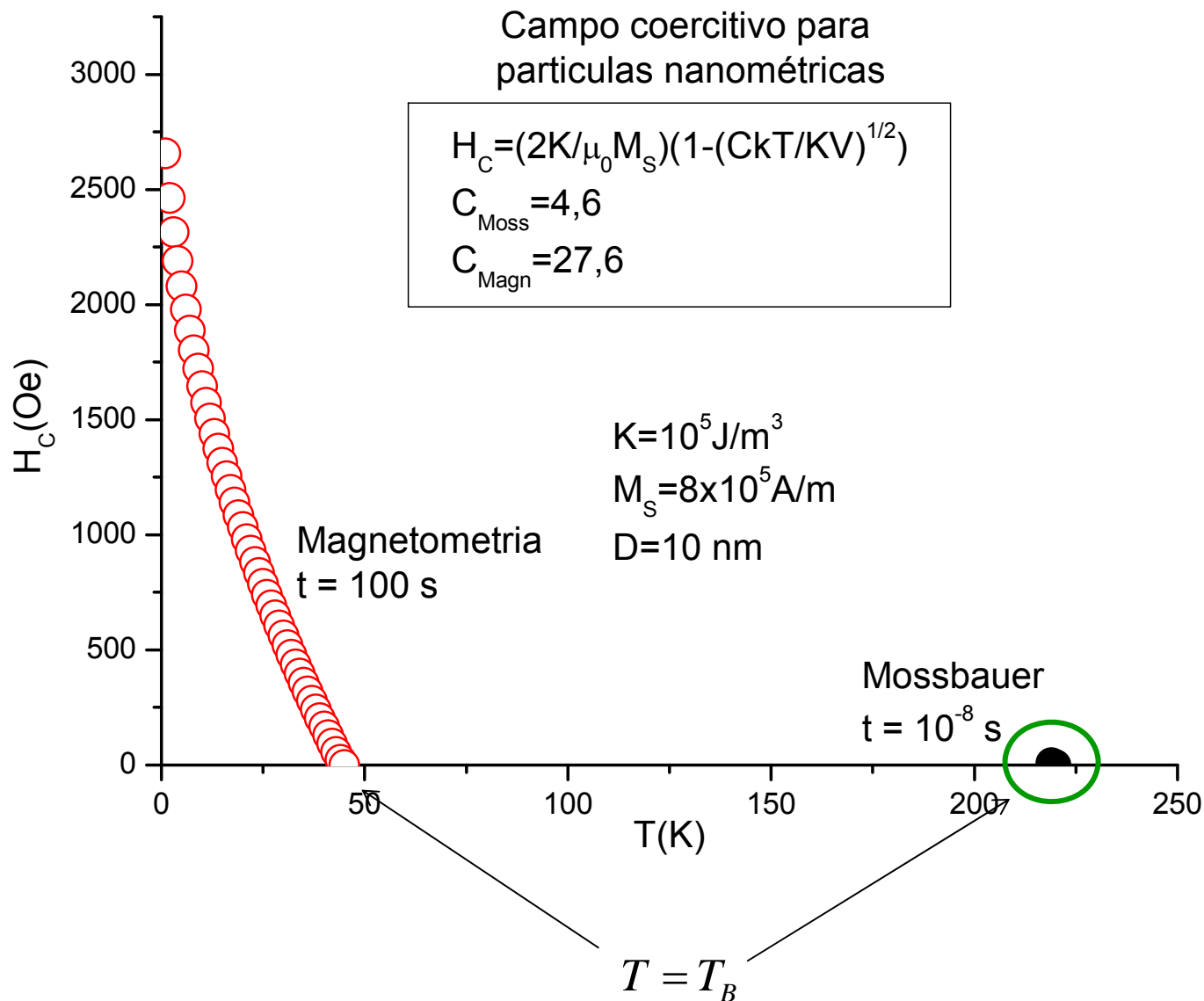
the easy axis orientation. In a system with uniaxially aligned easy axes, n is $1/2$ [29], and in a system with random easy axis orientations n is $2/3$ [30]. The fitting parameters V_{sw}

- [29] M. P. Sharrock and J. T. McKinney, *IEEE Trans. Magn.*, vol. MAG-17, p. 3020, 1981.
- [30] R. H. Victora, "Predicted time dependence of the switching field for magnetic materials," *Phys. Rev. Lett.*, vol. 63, pp. 457–460, 1989.

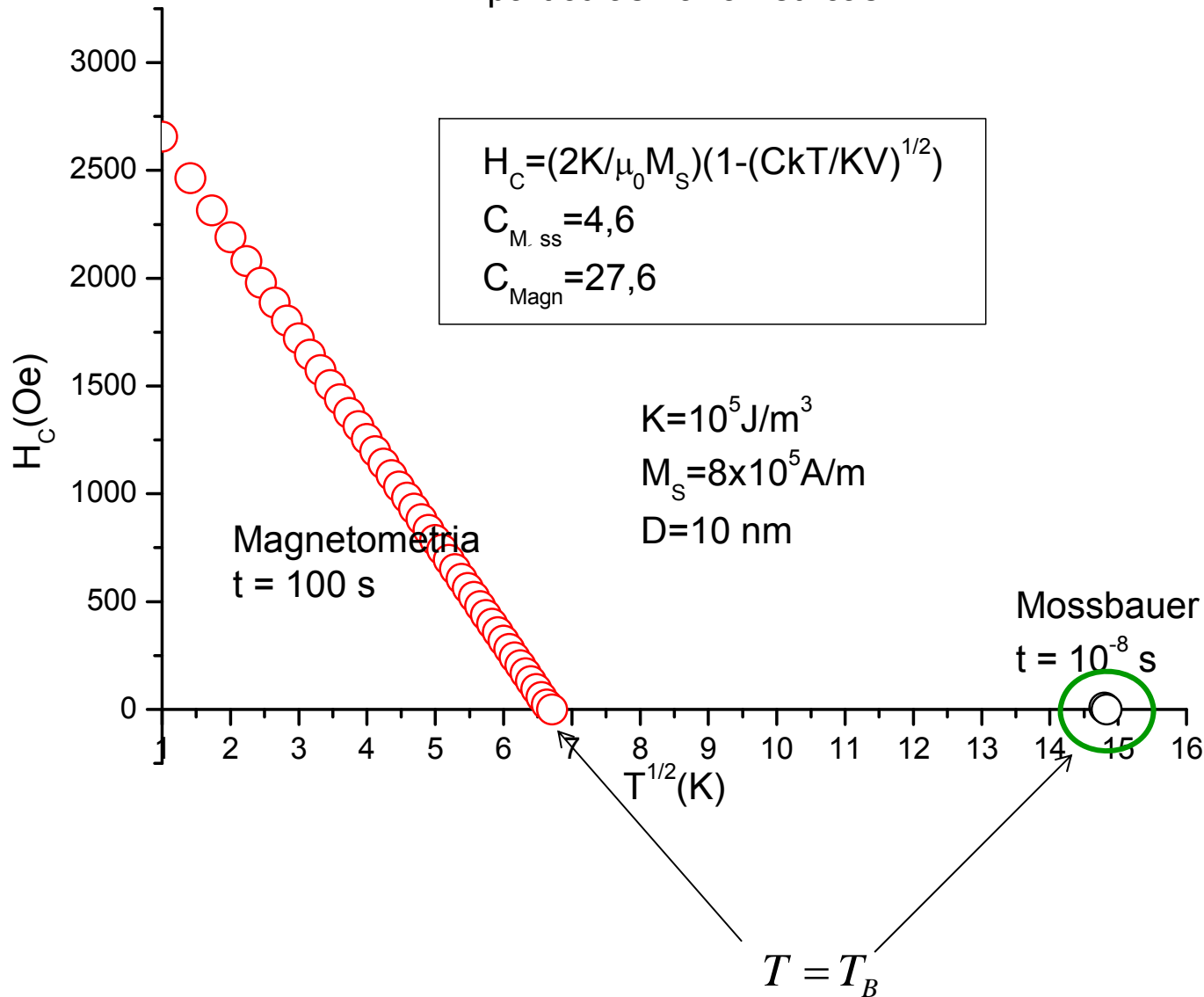
Uso extendido de la expresión

$$H_c = \alpha \frac{2K}{M_s} \left[1 - \left(\frac{T}{T_B} \right)^{1/2} \right]$$

Interacciones magnéticas en nanotubos ferromagnéticos de LaCaMnO y LaSrMnO,
J.Curiale et al., AFA 2006



Campo coercitivo para partículas nanométricas



Fin módulo